

## 技術資料

## 溶融スラグの物性と構造\*

柳ヶ瀬 勉\*\*・杉之原 幸夫\*\*

## Physical Properties and Structure of Slag Melt

Tsutomu YANAGASE and Yukio SUGINOHARA

## 1. 緒 言

溶融スラグの種々の物性は、スラグ自身の構造に非常に敏感で、今まで多数の研究者により測定結果と構造の関係につき、いろいろの考え方があげられてきた。しかしながら高温での測定の困難さや、誤差を大きくする多数の因子などのほかに、溶融珪酸塩の特徴の一つである組成によつて変化する珪酸陰イオンの存在、あるいは $\text{Al}_2\text{O}_3$  や  $\text{TiO}_2$  のように組成によつて異なる配位数をとるような化合物の存在などが、ますます構造との関連性を複雑にしている。また反面、溶融スラグあるいは珪酸塩は急冷によりガラス化しやすく、溶融状態の構造をそのまま固体ガラスにすることができるため、固体状態での研究あるいはガラスから結晶への変化の過程を検討することにより溶融状態の構造、性質につきある程度考察を加えうるという利点もある。

金属製錬におけるスラグの重要性は、いまさらのべるまでもないが、たとえば実際操業でも大きな役割を果たしている粘性を考えてみても、炉の操業や溶融金属との分離および介在物はもちろんのこと、反応速度に影響を与えるイオンの拡散、金属とスラグ間の熱の移動、耐火煉瓦の寿命、あるいは溶融スラグ中の泡の安定性などみなスラグの粘性に大きく影響をうけるものであり、スラグ構成酸化物間の平衡状態図の知識とともに、このような物性を理解することは金属製錬において必要欠くべからざるものである。また多量に生成されるスラグの利用開発の面から考えても構造、物性は重要な糸口であろう。

スラグの物性と構造を系統的にのべるためにには多成分系であるスラグそのものを取り扱うよりむしろ鉄、非鉄を問わず主成分であり、また構造に大きな役割をもつ $\text{SiO}_2$  との2元系あるいは3元系を主体としたほうが理解しやすいので、本報文では主としてこれらにつき現在までに発表されている論文にもとづき考察を加えていくこととする。なお溶融鉱滓の物性に関しては、鉄鋼基礎共同研究会の溶鉄溶滓部会のシンポジウム資料に詳しく紹介されているので参考されたい。

## 2. 電気伝導度

スラグのイオン性あるいは構造との関連で電気伝導度の測定は数多く行なわれ、また実際面でも電気炉の操業、エレクトロスラグメルト、溶接などでもスラグの電導性は重要な意味をもつている。電導度の値が、代表的なイオン伝導性の溶融  $\text{KCl}$  とだいたい等しく、温度系数が正で、融点の上下での電導度の比が約 100 くらいでまた直流電気による電解も可能で Faraday の法則が適用されるなどの理由で、一般的の溶融珪酸塩はイオン伝導であることが認められている。たとえば  $\text{PbO-SiO}_2$  系につき溶融電解を行なつたところ、ほとんど 100% に近い電流効率で陰極に金属鉛が得られた<sup>1)</sup>。溶融スラグの電導度は一般に塩基度とともに増加し、アルカリ、アルカリ土類酸化物を添加していくと珪酸イオンの network が切断されるために金属陽イオンの移動を容易にし、電導の活性化エネルギーも減少する。ただし金属鉄と共存している  $\text{FeO}$  は半導体的な電導性を有し、電気分解の実験でも  $2\text{FeO-SiO}_2$  の組成より  $\text{FeO}$  が増加すると急に電流効率は低下する<sup>2)</sup>。 $\text{FeO-CaO-SiO}_2$  系でもイオン電導と半導体的電導が存在する<sup>3)</sup>。 $\text{FeO-CaO}$  系では  $\text{CaO}$  の増加とともに電導度の値は減少し次第にイオン伝導性に変わって、電解した場合の電流効率も次第に増加する<sup>4)</sup>。このような  $\text{FeO}$  を含んでいるスラグの実験の場合には後で述べる密度の測定の場合と同様に、 $\text{Fe} + 2\text{Fe}^{+++} \rightleftharpoons 3\text{Fe}^{++}$  の平衡が温度により移動するために、零圧気が  $\text{N}_2$ 、 $\text{Ar}$ 、 $\text{He}$  の場合熱伝導の差で表面の冷却の様子が変化し測定結果に影響を与える。

溶融珪酸塩では、比電導度  $K$  と温度  $T$  の間に次式のように Arrhenius plot が成立し、

$$K = A_K \exp(-E_K/RT)$$

$\log K$  と  $1/T$  の直線関係の勾配から電導の活性化エネルギー ( $E_K$ ) が求められるが、測定温度範囲を広くとり、たとえば溶融アルカリ珪酸塩の場合のように抵抗-温度

\* 昭和45年6月20日受付 (依頼技術資料)

\*\* 九州大学工学部 工博

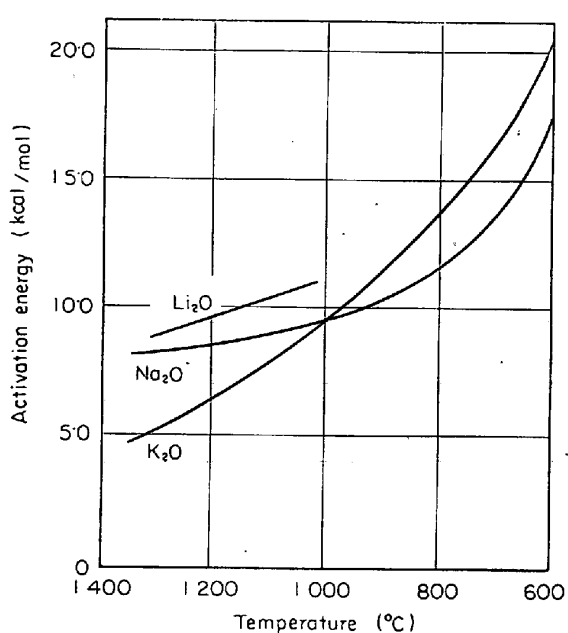


図 1 30 R<sub>2</sub>O-70 SiO<sub>2</sub> の各温度における電気伝導の活性化エネルギー<sup>5)</sup>

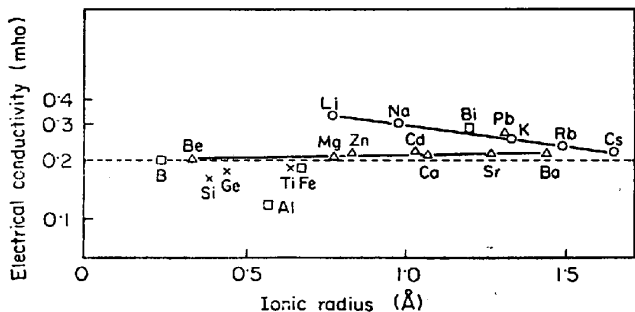


図 2 硅酸鉛に酸化物を添加した場合の電気伝導度と陽イオン半径との関係(1000°C)<sup>6)</sup>

の plot から活性化エネルギーを求めた実験では図 1 のように温度によって異なる値を示している<sup>5)</sup>. PbO-SiO<sub>2</sub> 系に各種の金属酸化物を一定量添加して、それらの電導度にたいする寄与の程度を調べた結果、図 2 のように、酸化物の陽イオン半径との間にかなり規則性のあることがわかる<sup>6)</sup>. すなわち 1 値のアルカリ酸化物を添加した場合にはイオン半径の小さなものほど電導度を大きく増加させ、アルカリ土類酸化物の場合は反対に Ba<sup>++</sup>, Sr<sup>++</sup> のようにイオン半径の大きいものほど電導度に対する寄与が大きい. 1 値の酸化物と 2 値の酸化物では Si-O-Si bond を切断する機構が異なり、2 値では Me<sup>++</sup> < O- O- のように bridge として作用しているので、Be<sup>++</sup>, Mg<sup>++</sup> のようなイオン半径が小さく、陽イオン-酸素間引力の強いものでは硅酸イオン切断の効果が少ない. このことはつぎの粘度の測定結果にも見られる. また CaF<sub>2</sub> のような弗化物の添加に関しては、塩基性融体の場合は、一般の塩基性酸化物を加えたのと同程度の電導度の上昇が

あるが、酸性の融体に添加した場合には、酸化物の約 2 倍の上昇が観察される. また電導度上昇の割合は、1 値と 2 値の弗化物の間にほとんど差は認められない<sup>7)</sup>.

スラグを構成している酸化物で、電導に寄与するものと、低下させるほうに作用するものにつき、陽イオン-酸素間引力などの関係から特性因子を求め、これと電気伝導度との関係をプロットしておけば、任意のスラグについてもその分析値より一定温度における電導度を推定することができる. KAMMEL ら<sup>8)</sup>は CaO-Al<sub>2</sub>O<sub>3</sub>-SiO<sub>2</sub> につき両者の間にかなりの規則的関係を得ているが、同系のさらに広範囲な組成についても直線関係を得るためにはむしろ次式により特性因子 *K* を算出するほうが図 3 のようによく整理できる<sup>9)</sup>.

$$K = \frac{I_{\text{Ca}} \cdot \text{at \% Ca}^{2+}}{I_{\text{Si}} \cdot \text{at \% Si}^{4+} + I_{\text{Al}} \cdot \text{at \% Al}^{3+}}$$

$$I = \frac{2Z_+}{a^2}$$

*a* : 陽イオンと酸素イオン間の距離

*Z*<sub>+</sub> : 陽イオンの原子価

組成によって電気伝導度が変化する場合に、状態図上の化合物に相当する点で曲線上に折点や異状な屈曲点が見られる場合がある<sup>10)~12)</sup> このようなことは他の物性値にも見られ、たとえば FeO-SiO<sub>2</sub> 系の場合に、粘度の異状性が 2FeO-SiO<sub>2</sub> (fayalite) の付近の組成に存在するという報告もあり<sup>13)</sup>、PbO-SiO<sub>2</sub> 系の密度の測定から分子容が 2PbO-SiO<sub>2</sub> および PbO-SiO<sub>2</sub> の化合物付近で最小値を示している<sup>10)14)</sup>. また BABCOCK<sup>15)</sup> はガラスの種々の

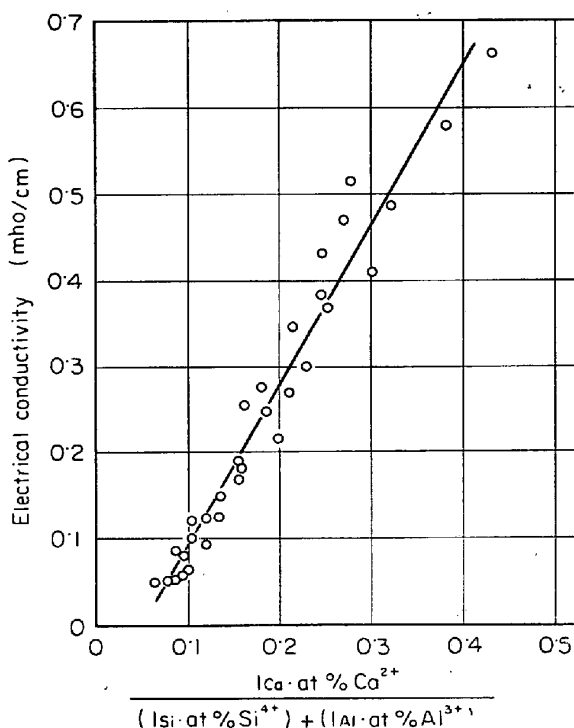
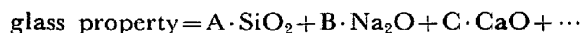


図 3 CaO-Al<sub>2</sub>O<sub>3</sub>-SiO<sub>2</sub> 系の 1550°C における電気伝導度と特性因子との関係<sup>9)</sup>

測定値を分析した結果、このようなガラスの特性は、初晶として析出する結晶の組成範囲ごとに個別の傾向を持つており、たとえば2元系で共晶点があつた場合には物性一組成の関係が共晶点を境にして異なる傾向を示すとしている<sup>15)</sup>。そしてすべての物性につき次式のように、各酸化物に特有の数値であるA, B, C…を、初晶の種類ごとに決定しておけば、それに各酸化物のモル分率をかけると必要な物性値が求まるとしている。



いざれにせよ融体の構造は、long range order には欠けているが、固体状態における構造の影響を持つていることは当然考えられるし、しかも物性の種類によつてこの効果が表われやすいものとそうでないものもあり、今後さらにこの方面の研究が必要であろう。

### 3. 粘 度

陽イオンの移動が重要な役割りを果たす電気伝導度に対し、珪酸陰イオンの形や大きさが直接支配する粘度の測定は、実際面と同様溶融スラグの構造解明にとって最も有力な手段である。珪酸陰イオンのように重合したイオンよりなる液体では、電気伝導度の場合と同様に広い温度範囲では粘度 $\eta$ の対数と $1/T$ の関係は、厳密には直線でなくわずかにカーブしている。

溶融珪酸塩の粘度は、温度と組成によつて大きく変化している。数種の溶鉱炉スラグについて粘度を測定した結果では図4に見られるように、スラグの塩基度の増加とともに粘度は小さくなつてゐる<sup>16)</sup>。すなわち塩基性酸化物によつて珪酸イオンのnetworkが切断され流動単位が小さくなるためである。スラグ中の $\text{Al}_2\text{O}_3$ の挙動も非常に重要で、塩基として作用する場合もあるし、あるいは異なるスラグでは酸性的なこともあります。この方面

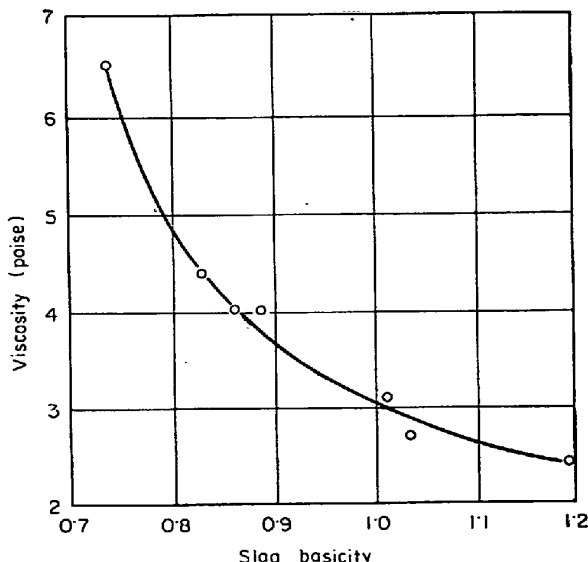


図4 溶鉱炉スラグの塩基度と粘度との関係  
(1500°C)<sup>16)</sup>

の研究もいろいろ試みられている。AlがSiと同様に四面体のnetwork former  $[\text{AlO}_4]$ として存在するためにはAlは3価であるため  $\text{Al}_2\text{O}_3$  1 mol に対し  $\text{Na}_2\text{O}$  あるいは  $\text{CaO}$ などが1 mol以上必要となる。この状態ではAlは4個の酸素イオンを配位しているけれども  $\text{Na}_2\text{O}/\text{Al}_2\text{O}_3$  が1より小さい状態ではAlは6配位となつて、networkを切断するいわゆる modifierとして作用する。したがつて  $\text{Na}_2\text{O}-\text{Al}_2\text{O}_3-\text{SiO}_2$  系の粘度についてこの関係を見ると図5のよう  $\text{Na}_2\text{O}/\text{Al}_2\text{O}_3=1$  の組成のところでは  $[\text{SiO}_4]$  と  $[\text{AlO}_4]$  の networkになつてゐるために最も粘度が大きく、これ以上  $\text{Al}_2\text{O}_3$  が多くなると modifierとして働くためかえつて粘度は低下している<sup>17)</sup>。  $\text{Na}_2\text{O} \cdot \text{Al}_2\text{O}_3 \cdot 2\text{SiO}_2$  の組成は結晶ではcarnegiteで、これは  $[\text{SiO}_4]$  と  $[\text{AlO}_4]$  の networkで形成されたクリストバライト型の構造を有しており、膨張率もこの  $\text{Na}_2\text{O}/\text{Al}_2\text{O}_3=1$  の線に沿つた部分が最も小さい値を示している。

$\text{CaO-SiO}_2-\text{TiO}_2$  系では  $\text{TiO}_2$  の増加とともに粘度は低下し、また状態図上の液相線より 100°C 上での粘度の測定結果をプロットしてみると、共晶点において最も低い値を示している<sup>18)</sup>。融体中の各種酸化物の粘度に対する寄与を検討するため、電気伝導度の場合と同様に  $\text{PbO-SiO}_2$  系に第三成分として他の酸化物を一定量添加した場合の粘度の変化を図6に示した<sup>19)</sup>。1価と2価の酸化物でイオン半径に対する傾向が逆になつており、電

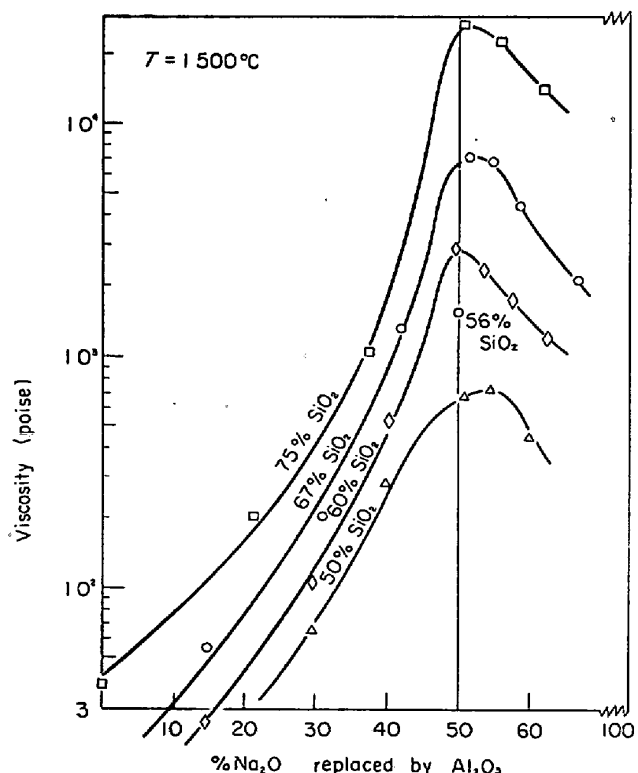


図5  $\text{Na}_2\text{O}-\text{Al}_2\text{O}_3-\text{SiO}_2$  系の  $\text{Al}_2\text{O}_3$  濃度に対する粘度の変化<sup>17)</sup>

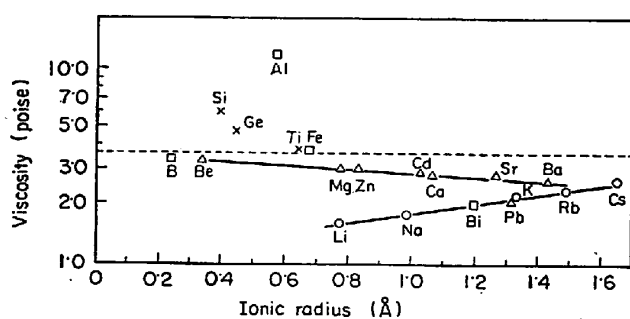


図 6  $\text{PbO}-\text{SiO}_2$  系に酸化物を添加した場合の粘度の変化とイオン半径との関係( $1000^\circ\text{C}$ )<sup>19)</sup>

導度の場合と対称して同じことがいえる。これからもわかるように、粘度の大小は珪酸イオンの形と大きさに支配されるけれども、それだけではなく陽イオン-酸素間の attraction もまた重要な因子と思われる。弗化物の影響も電気伝導度の場合と同様に粘度低下に対する効果は大きく、 $\text{CaO}-\text{SiO}_2$  系で  $\text{CaF}_2$ ,  $\text{MgF}_2$ ,  $\text{BaF}_2$  を添加した場合、酸性スラグでは酸化物の約 2 倍の粘度低下を示し、しかも弗化物間ではあまり差が認められていない<sup>19)</sup>。硫化物の影響として  $\text{CaO}-\text{SiO}_2$  系に  $\text{CaS}$  をえた場合には、 $\text{CaO}$  の modifier の作用と同程度に Si-O の bond を切つて粘度を低くする効果がある<sup>20)</sup>。

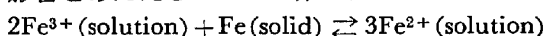
液体の粘性流動のモデルも流動単位を知るいみで重要であり、MACEDO ら<sup>21)</sup>は活性化エネルギー説と自由体積説との両者を考え、粘度式として次式を提案している。

$$\eta = A_0 \exp [E_v^*/RT + \gamma V_0/V_f]$$

ここで、 $E_v^*$ : 平衡位置間のエネルギー barrier の高さ、すなわち活性化エネルギー、 $V_0$ : 流動単位の体積、 $V_f$ : 自由体積、 $A_0 \gamma$ : 定数である。功刀ら<sup>22)</sup>は  $\text{Li}_2\text{O}-\text{SiO}_2$ ,  $\text{Na}_2\text{O}-\text{SiO}_2$ ,  $\text{Na}_2\text{O}-\text{B}_2\text{O}_3$  系につき自由体積や  $E_v^*$  の値を求め、さらに  $E_v^*/RT$  (活性化エネルギーの項) と  $\gamma V_0/V_f$  (自由体積の項) の粘度に対する寄与を比較している。これらの系では一般に自由体積は全容積の 5~15% で、 $E_v^*$  は 10~20 kcal/mol の範囲にあつた。

#### 4. 密 度

密度の測定においても溶融スラグに関する実験の困難さを見ることができる。最大泡圧法を応用した場合に、 $\text{FeO}$  融体  $1400^\circ\text{C}$  での密度が窒素を使用した場合には  $4.90 \text{ g/cm}^3$  であるがアルゴンでは  $4.58 \text{ g/cm}^3$  と得られ<sup>23)</sup>、 $\text{FeO}$  に  $\text{SiO}_2$  を加えていくとその差が小さくなる。また  $\text{FeO}-\text{SiO}_2$  系で測定後ガスを吹きこむチューブに金属鉄が付着しているのが見られた。また  $\text{SiO}_2$  濃度の低い組成では融体中に金属鉄の微粉が浮遊し、測定値に影響をあたえる<sup>24)</sup>。この系では



の平衡があり、温度に敏感で高温、高シリカ濃度で  $\text{Fe}^{2+}$  の生成の方に反応は進む。したがつて温度の上下による金属鉄の溶解、沈殿のくりかえしを防ぐためには温度制

御をきわめて厳密に行ない、できるだけ測定中の thermal cycling を低くおさえねばならない。またガス相の酸素分圧が溶融  $\text{FeO}$  の平衡酸素圧よりも小さい場合には当然金属鉄が沈殿するので使用ガスの脱酸の程度にも十分な考慮をはらうべきである<sup>25)</sup>。He のような熱伝導のよいガスを使うと融体の表面付近の温度が低下する。

融体  $1 \text{ cm}^3$  中に存在する酸素原子の数を oxygen density としてつぎのように計算し

$$\text{Oxygen density} = \frac{\rho \cdot A \cdot N_0}{MW}$$

$\rho$ : 密度、 $A$ : アボガドロ数、

$N_0$ : 融体中の酸素のモル分率、

$MW$ : 融体の分子量

$\text{FeO}-\text{SiO}_2$  系において組成との関係を検討すれば図 7 のようになり<sup>25)</sup>、 $\text{FeO}$  と  $\text{SiO}_2$  の mechanical mixture と考えた場合の酸素密度より正のほうに偏倚し、しかもその差が  $\text{SiO}_2$  の量とともに大となつていて。この理由を WARD らは融体中の重合度が  $\text{SiO}_2$  とともに増加する結果酸素が充填する効率が増すためとしている。密度の測定値から分子容を求め組成との関係を検討してみると  $\text{CaO}$  や  $\text{Na}_2\text{O}$  のような酸化物を添加した場合、加成性より負のほうに偏倚し Si-O の構造中にこれら陽イオンが収容されたものと考えられる。Li, Na, Mg, Ca, Sr の酸化物 (40 mol% の組成) については、加成性からのずれがこれら陽イオンのイオン半径の 3 乗に比例している (図 8) ことから<sup>26)</sup>、Si-O 構造中に収容される陽イオンの割合はこれらの系についてはだいたい一定といえる。イオン半径がとくに大きい K や Ba についてはこの関係より低いところに存在する。分子容については陽イオン-酸素間引力はあまり関係がないが、膨張率は図 9 に見られるように、膨張率  $\alpha = 1/V(\partial V/\partial T)_p$  とイオン酸素間引力  $I = 2Z_+/a^2$  の逆数との間には直線関係がある<sup>26)</sup>。すなわち熱膨張は Si-O bond による寄与

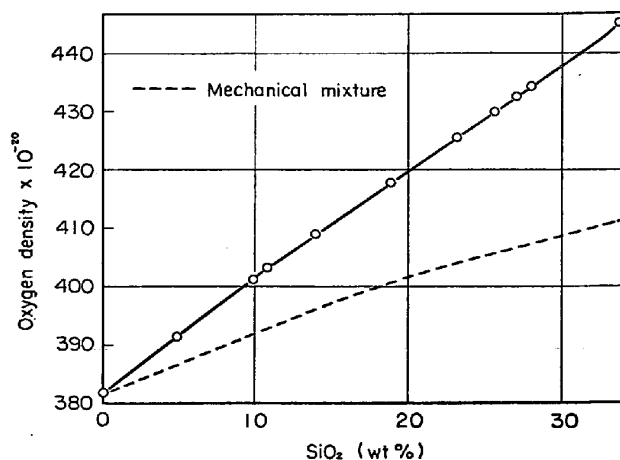


図 7  $1410^\circ\text{C}$  において金属鉄と平衡している珪酸鉄の酸素密度と組成との関係<sup>25)</sup>

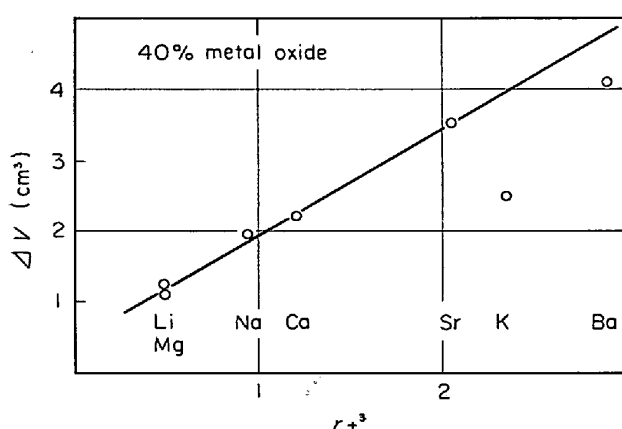


図8 分子容の加成性からのずれ ( $\Delta V \text{ cm}^3$ ) と陽イオン半径の3乗との関係 ( $1700^\circ\text{C}$ )<sup>26)</sup>

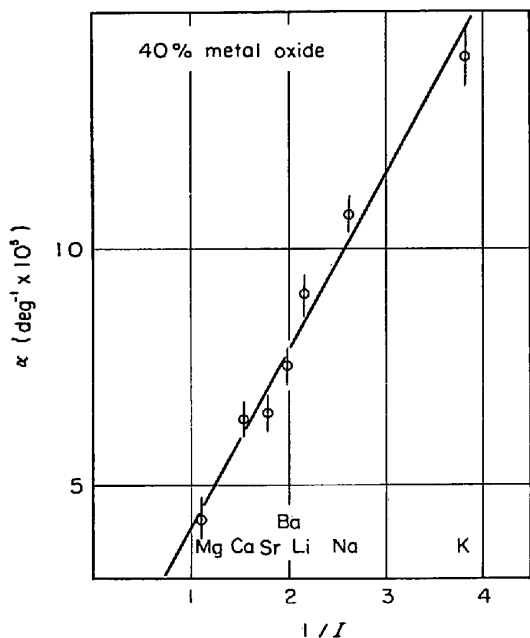


図9 Expansivity ( $\alpha$ ) と ion-oxygen attraction  $I = (2Z_+/a^2)$  との関係<sup>26)</sup>

は少なく、主として陽イオンと珪酸陰イオンとの間のイオン結合によるものと思われ、この結合力の弱い  $\text{K}^+$ 、 $\text{Na}^+$  などの場合  $\alpha$  は大きく、強固な結合性を持つ  $\text{Mg}^{2+}$  のときには小さい。

## 5. 表面張力

溶融スラグの表面張力は、他の物性と同様に構成分子またはイオン相互の結合力ひいては構造と密接な関係があり、製錬反応のさいにも、金属とスラグの分離、耐火物へのスラグの浸透などいろいろの方面で影響をもつてゐる。珪酸塩融体の表面張力は表1に見られるように<sup>27)</sup>、強固な金属結合を持つ溶融 Ni や Fe と、弱い Van der Waal 力の有機化合物の中間の値を示している。

図10に、2元系珪酸塩の表面張力 ( $1570^\circ\text{C}$  において

表1 種々の物質の表面張力<sup>27)</sup>

Substance	Surface tension, dyne per cm	Temperature $^\circ\text{C}$
Metallic		
Ni	1 615 in He	1 470
Fe	1 560 in He	1 550
Ca	600	500
Covalent		
FeO	584	1 400
$\text{Al}_2\text{O}_3$	580	2 050
$\text{Cu}_2\text{S}^*$	410 in A	1 130
Slag		
$\text{MnO}\cdot\text{SiO}_2$	415	1 570
$\text{CaO}\cdot\text{SiO}_2$	400	1 570
$\text{Na}_2\text{O}\cdot\text{SiO}_2$	284	1 400
Ionic		
$\text{Li}_2\text{SO}_4$	220	860
$\text{CaCl}_2^*$	145 in A	800
$\text{CuCl}^*$	92 in A	450
Molecular		
$\text{H}_2\text{O}$	76	0
S	56	120
$\text{P}_4\text{O}_6$	37	34
$\text{CCl}_4$	29	0

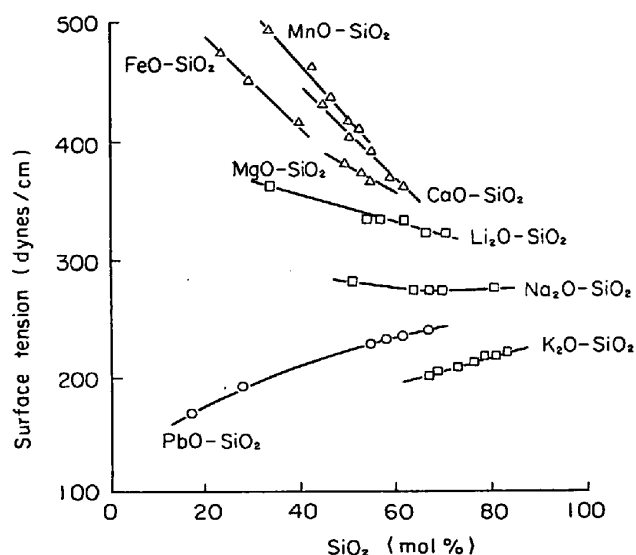


図10  $\text{SiO}_2$  濃度による珪酸塩の表面張力の変化 ( $1570^\circ\text{C}$ )<sup>27)</sup>

て) と  $\text{SiO}_2$  量との関係を示した<sup>27)</sup>。粘度や電気伝導度よりも  $\text{SiO}_2$  の影響は少ない。 $\text{SiO}_2$  がますにつれて珪酸陰イオンの重合度が大きくなり、表面付近における bond density が小さくなつたために表面張力は減少するものと思われる。ただ  $\text{PbO}$  や  $\text{K}_2\text{O}$  は表面活性的でそれ自体非常に表面張力が小さいために逆の傾向がある。これら2元系あるいは3元系溶融珪酸塩の測定値より、スラグを構成している各酸化物自体の表面張力係数 (surface tension factor) を求める試みがなされており、DIETZEL の示した計算式

$$\gamma = M_1 F_1 + M_2 F_2 + \dots + M_i F_i$$

$\gamma$  : 表面張力,  $M_i$  :  $i$  成分のモル%,

$F_i$  : surface tension factor

にならつて DERGE らは各種酸化物の表面張力係数を算出し、逆に今度は実際スラグにこれらの値を応用した結果測定値とかなりよい一致を見出している<sup>27)</sup>。たとえば 35.5% (wt) SiO<sub>2</sub>, 12.5% Al<sub>2</sub>O<sub>3</sub>, 42.0% CaO, 8.4% MgO, 1.6% FeO のスラグについて表面張力 ( $\gamma$ ) を計算した結果 (1400°C),

$$\begin{aligned}\gamma = & 0.35(285) + 0.07(640) + 0.45(608) + 0.12(512) \\ & + 0.01(570) = 487 \text{ dyne per cm}\end{aligned}$$

( )内の数字は他の data より求めた 1400°C における酸化物の surface tension factor, 濃度はモル分率。実測値の 495 dyne/cm とよい一致を示している。

各酸化物の表面張力係数とイオンポテンシャル  $Z/R$  ( $Z$ : 陽イオンの原子価,  $R$ : 陽イオン半径) との関係を図 11 に示した<sup>27)</sup>。図から明らかのように酸化物の表面張力は  $Z/R$  に関して興味深い関係を示している。すなわちイオンポテンシャルが K<sup>+</sup> の 0.75 から Mn<sup>2+</sup> の 2.17 まで表面張力も 156 から 163 まで連続的に増加している。この直線上の酸化物は溶融スラグ中ではいずれも Si-O bond を切る modifier で、その中では K<sup>-O</sup> の bond が最も弱い。  $Z/R$  が 2.4 以上に増加すると表面張力は逆に減少し, B<sub>2</sub>O<sub>3</sub> で最小になっている。この直線上の酸化物は陽イオン-酸素間引力が強いために塩基性酸化物から酸素イオンを取つて陰イオンを形成する。いわゆる network former である。Mg<sup>2+</sup>, Al<sup>3+</sup>, Fe<sup>2+</sup> などはこれら 2 つの直線の交点付近に位置している。溶融珪酸塩の表面張力で特徴があるのは、CaO-SiO<sub>2</sub>, MnO-SiO<sub>2</sub> 系にみられるように、ふつうの液体と異なり温度係数が正であることである。しかも一般的に SiO<sub>2</sub> 濃度がふえるほど正の値を示す傾向が強くなっている。GeO<sub>2</sub>, B<sub>2</sub>O<sub>3</sub>, SiO<sub>2</sub> などそれ自体正の温度係数を持ち, P<sub>2</sub>O<sub>5</sub> は負の係数を示す<sup>28)</sup>。また CaO·Fe<sub>2</sub>O<sub>3</sub>, CaO·Al<sub>2</sub>O<sub>3</sub>, CaO·P<sub>2</sub>O<sub>5</sub> はいずれも負の温度係数である。溶融珪酸塩の meta-silicate 組成における表面張力の温度係数とイオンポテンシャルの関係を図 12 に示した<sup>27)</sup>。KING は高温にて表面張力が増加する傾向を、珪

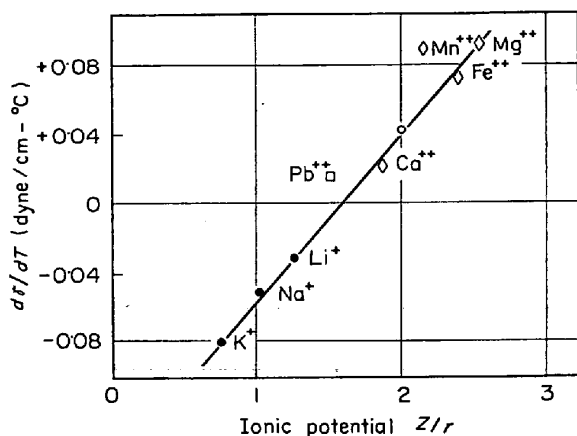


図 12 Metasilicate の表面張力の温度係数と ionic potential との関係<sup>27)</sup>

酸イオンの構造が切れて重合度が減少するためであろうとしている<sup>29)</sup>。

合成スラグに S を添加した場合、酸性、酸基性スラグいずれにおいても表面張力は S の量とともに減少する。これは添加された S<sup>2-</sup> イオンは、O<sup>2-</sup> イオンよりイオン半径が大きいために Mg<sup>2+</sup> のような陽イオンから容易に分離され共有結合性が強くなるために表面張力に対する寄与が少なくなるものと思われる。スラグ表面における excess sulfur の濃度は bulk 中の S% とともに増加し、またスラグによる鉄の脱硫については、スラグ中の表面 excess sulfur が低いほどよい<sup>30)</sup>。表面張力に関してスラグで生成する泡の安定性の問題がある。CaO-SiO<sub>2</sub> 系に Cr<sub>2</sub>O<sub>3</sub> を微量添加して、泡が安定に存在する時間を測定した結果、酸性スラグほど、また低温ほど泡の寿命がながい。しかし粘度の高い CaO-SiO<sub>2</sub> だけでは泡は安定に存在しえず、表面活性的な P<sub>2</sub>O<sub>5</sub>, Cr<sub>2</sub>O<sub>3</sub>, V<sub>2</sub>O<sub>5</sub> が必要であることから、一がいに粘度の大小だけでは泡の問題は結論づけられない。CaO-SiO<sub>2</sub> 系に Cr<sub>2</sub>O<sub>3</sub> を添加すると表面張力は小さくなる<sup>31)</sup>。

また溶鉄の窒素吸収速度に対する表面張力の影響も検討が加えられており、Fe-O, Fe-S 系においては、酸素あるいは硫黄は表面活性で表面張力を低下させるが、それとともに窒素の吸収速度が著しく低下する<sup>32)</sup>。

## 6. 赤外線スペクトル

赤外分光分析の研究は、近年化学の種々の分野において有効に用いられ、とくに有機化学の分野においての利用はめざましく、物質の同定はもちろん分子構造の決定まできわめて有効に利用されている。SiO<sub>4</sub><sup>4-</sup> 四面体イオンの重合組織から構成されていると考えられる珪酸塩の結晶、ガラスあるいは融体の構造研究のために本研究は非常に有力な手段であろう。それで多くの研究者により種々の珪酸塩についての研究が発表されているが、まだまだ data 不足であり、有機化学の分野におけるほど、

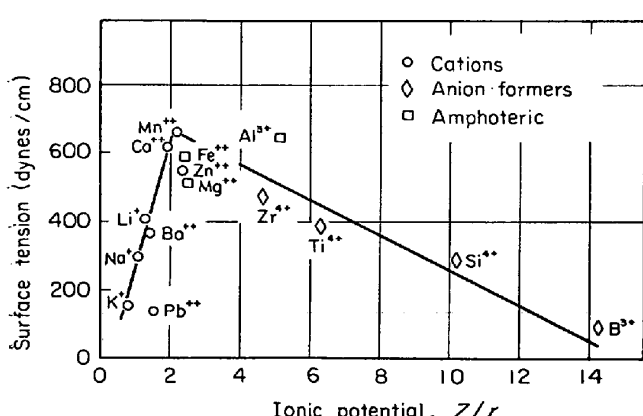
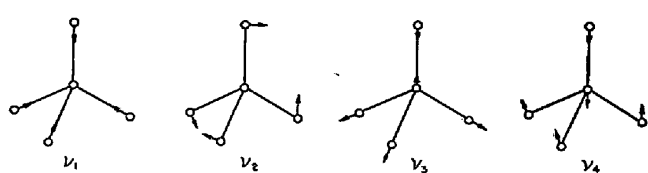
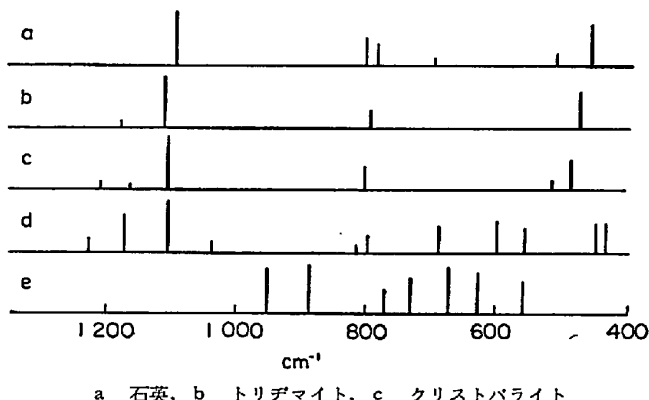


図 11 各種純酸化物の ionic potential  $Z/r$  と表面張力との関係 (1400°C)<sup>27)</sup>

図13  $XY_4$  型四面体の基準振動図14  $SiO_2$  の赤外線吸収スペクトル<sup>33)</sup>

有効に利用できる段階ではない。

珪酸塩の赤外線吸収スペクトルで最も基本となる基準振動は、珪酸陰イオンの単位イオンである  $SiO_4^{4-}$  四面体すなわち  $XY_4$  型構造の 5 原子分子による振動で、図 13 のように 4 種の基準振動があり、その内  $\nu_1$  と  $\nu_3$  が伸縮振動で、 $\nu_2$  と  $\nu_4$  は変角振動である。この内  $\nu_3$  と  $\nu_4$  が赤外活性であり、 $\nu_2$  は 2 重に、 $\nu_3$  と  $\nu_4$  は 3 重に縮重している。

#### 6.1 $SiO_2$ の赤外線スペクトル

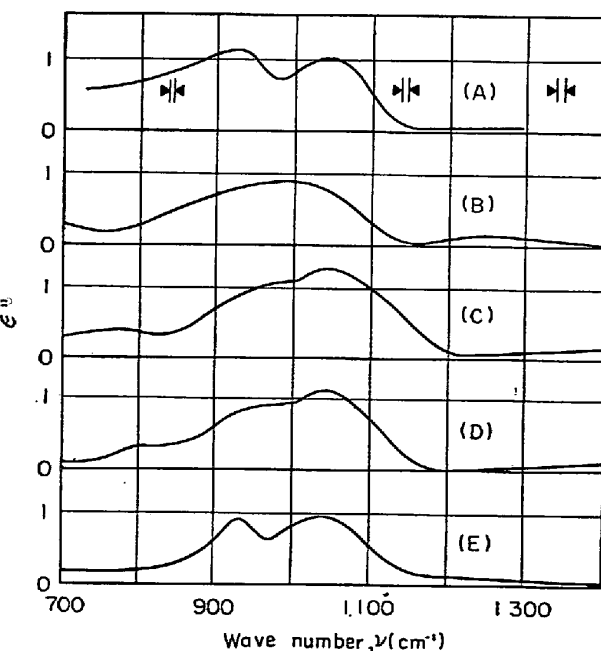
$SiO_4^{4-}$  四面体の頂点にある 4 個の酸素が、他の 4 個の四面体と結合して立体的に無限に連なった構造である  $SiO_2$  の赤外スペクトルを総括した図を図 14<sup>33)</sup>に示す。このように同じ  $SiO_2$  でも  $Si-O-Si$  の結合角など結合状態が変化すれば、それぞれ特有な吸収帯を現わす。図中  $1100\text{cm}^{-1}$  付近の吸収は  $Si-O$  bond の伸縮振動  $\nu_3$  によるもので、一番吸収強度も大きい。 $450\sim 500\text{cm}^{-1}$  付近の吸収が変角振動  $\nu_2$  で  $800\text{cm}^{-1}$  付近の吸収は伸縮振動  $\nu_1$  によるもので、これは赤外不活性であるが、結合の対称性が悪いなどのために赤外活性となつたものと思われる。さらに変角振動  $\nu_4$  は波数約  $625\text{cm}^{-1}$  に存在する。なお、ガラス状珪酸の赤外吸収スペクトルは結晶の場合と大体同じく  $\nu_3$  が  $1100$ ,  $\nu_1$  が  $800$ ,  $\nu_2$  が  $470\text{cm}^{-1}$  付近に存在するが、吸収ピークの形が broad になり、 $\nu_3$  振動によるピークの波数が石英のピーク ( $1065\text{cm}^{-1}$ ) より高波数側に移行する。同じ現象を SIMON ら<sup>34)</sup>も赤外反射によつて認めている。この原因として、単結合酸素と  $Si$  原子間の力の定数が、複結合酸素と  $Si$  原子間のそれより大きくなることから結晶石英が溶融することにより熱のために  $Si-O-Si$  bond が切斷さ

れ、単結合酸素が増大するために  $Si-O$  bond の伸縮振動が高波数側に移行するとしている。

#### 6.2 2 元系珪酸塩の赤外線スペクトル

天然の珪酸塩鉱物や岩石の赤外線的研究はかなり古くより一部では行なわれてきた。さらに近年珪酸塩の構造を解明する目的で、赤外線分光による研究が盛んに行なわれ、多くの研究が発表されている。たとえば、珪酸塩鉱物に関して SAKSENA<sup>35)</sup> は多くの天然産鉱物のスペクトルを検討し、珪酸陰イオンの型を  $SiO_4$ (isolated),  $Si_2O_7$  (complex),  $Si_2O_6$ (chain),  $Si_2O_5$ (sheet) に分類し、計算値と実測値の比較を行ない、それらイオンの型によりそれぞれ特有の吸収帯を持つことを明らかにし、雲母やオルソ・珪酸塩では  $1000\text{cm}^{-1}$  附近に現われる強い吸収帯が、珪酸イオンと結合する陽イオンのイオン半径が大きくなるにつれて波数が小さいほうに移行すると述べている。また TARTE<sup>33)36)</sup> は各種珪酸塩化合物 ortho-germanate, ortho-titanate, およびそれらの混合物の赤外吸収スペクトルの結果を総括している。それで各珪酸塩化合物によりそれぞれ特有な吸収スペクトル曲線を示すため、きわめて微量の試料を用いて X 線回折よりも感度よく化合物を同定することが可能である。

ガラス状珪酸塩に関する研究も近年盛んに行なわれているが、とくにアルカリ珪酸塩に関する研究が多い。SIMON ら<sup>37)</sup> はガラス状の  $Na$ ,  $K$ ,  $Ca$ ,  $Sr$  および  $Ba$  硅酸塩の赤外反射の測定結果より、見かけの誘電率 ( $\epsilon''$ ) を計算し、波数との関係を図 15 のように示し、modifier 金属酸化物の添加量がある程度以上になると曲線が



A) 43%  $Na_2O$ , B) 40%  $K_2O$ , C) 42%  $CaO$   
D) 46%  $SrO$ , E) 43%  $BaO$ ,  
図15  $Si/O=0.37$  における珪酸塩の  $\epsilon''$  と波数との関係<sup>37)</sup>

図のように2つに分裂するが $\text{Na}_2\text{O}$ および $\text{BaO}$ を添加したときの分裂がほとんど同じであることから原子の質量には無関係であり、また $\text{K}_2\text{O}$ を添加したときには分裂しない異状性については、 $\text{K}$ の陽イオン-酸素引力が小さいためだと考察している。 $\text{Na}_2\text{O}-\text{SiO}_2$ 系について<sup>37)</sup>は FLORINSKAYA ら<sup>38)</sup>  $\text{Li}_2\text{O}-\text{SiO}_2$ 系については CHERNEVA ら<sup>39)</sup>が赤外反射を用いて、ガラス状およびその結晶化過程の測定を行ない、これら珪酸塩ガラスの $\nu_3$ 振動( $1066\text{ cm}^{-1}$ )が分裂するのは高珪酸と高アルカリの珪酸塩により構成されているためで、この2つのピーク

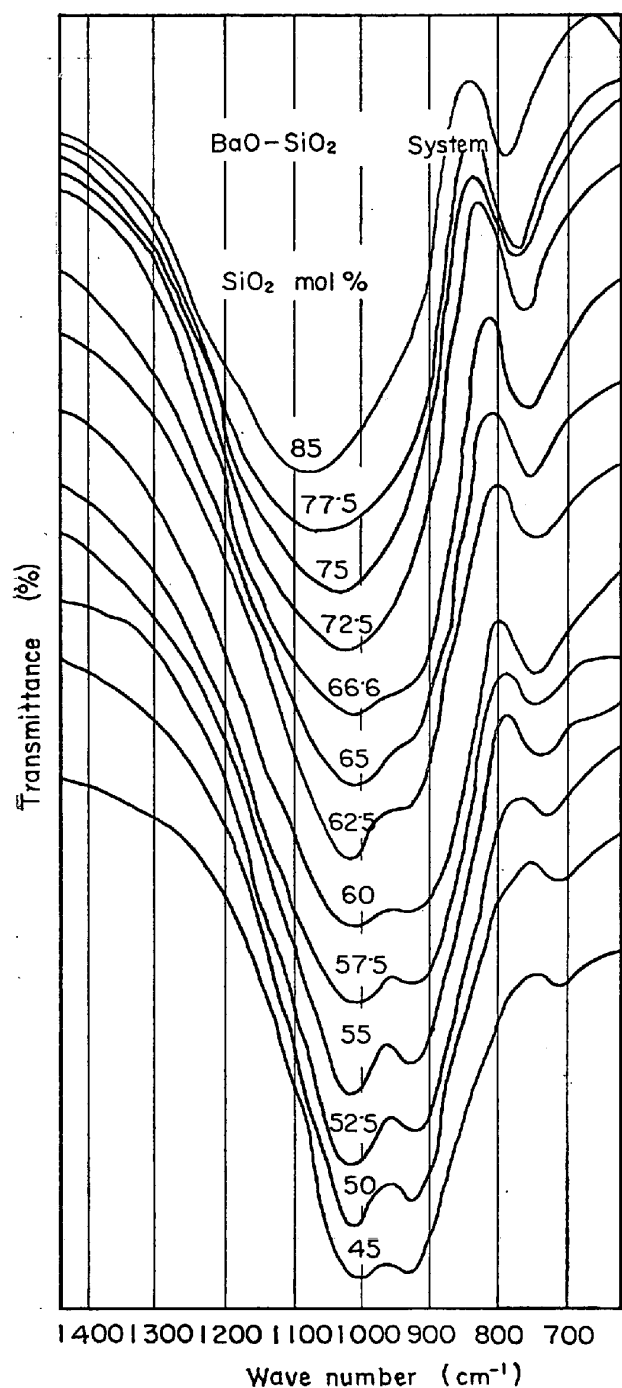


図16  $\text{BaO}-\text{SiO}_2$  系ガラスの赤外線吸収スペクトル<sup>41)</sup>

の位置はガラスの結晶化の度合、試料の皮膜を作るときの温度、それにガラスの組成に影響されると推論している。一方 HANNA ら<sup>40)</sup>も  $\text{Na}_2\text{O}\cdot X\text{SiO}_2$  ( $X=2, 3, 4, 5$ )についての赤外吸収スペクトルを観測し、 $X=3$ のとき $\nu_3$ 振動は  $1038\text{ cm}^{-1}$  にピークをもつ1個の吸収帯であるが $X=2$ で2個に分裂し、その分裂は $\text{SiO}_4^{4-}$ イオンの対称性が悪くなるためであると考え、 $\text{CH}_4$ の基準振動の数は4個であるが $\text{CH}_3\text{D}$ となつて対称性が悪くなると6個の振動が現われる事実を例としてあげている。

さらに著者ら<sup>41)</sup>は $\text{Na}, \text{Ca}, \text{Ba}, \text{Zn}$ および $\text{Pb}$ の各珪酸塩についてできるだけ広い組成範囲にわたる赤外線吸収スペクトルを観測した。一例として $\text{BaO}-\text{SiO}_2$ 系ガラス状珪酸塩の $\text{SiO}_2$ 組成に対する赤外吸収スペクトル曲線の変化を示すと図16のようになり、その $\nu_3$ 振動の吸収ピークの変化を見ると $\text{SiO}_2$  80~72.5 mol%までは吸収ピークは1個でその波数は約  $1100\sim 1020\text{ cm}^{-1}$  まで連続的に移行し、 $\text{SiO}_2$ がそれ以下になるとピークは  $1020$  と  $930\text{ cm}^{-1}$  に分裂し、移動しなくなるが、 $930\text{ cm}^{-1}$  のピークの吸収量が増大していく。このように $\nu_3$ 振動だけに着目し、吸収ピークの波数の移動を $\text{SiO}_2$ 組成に対して総括すると、図17のようになつた。なお同図中点線で示した波数は、各珪酸塩の $\text{SiO}_2$ 組成が変化しても吸収ピークの位置が変化しない点を結んだもので、その波数をピークにもつ6種の珪酸陰イオンの存在を推定し、そのモデルを種々の実験結果から推察し

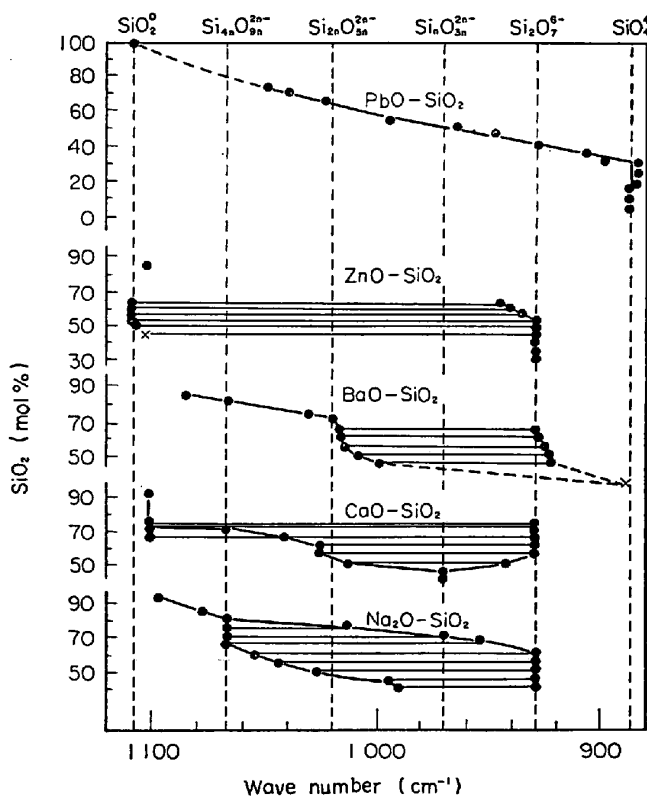


図17 ガラス状珪酸塩の $\text{Si}-\text{O}$   $\nu_3$ 振動による吸収ピークの波数と $\text{SiO}_2$  mol%との関係<sup>41)</sup>

それら陰イオンの形が図中に併記してある。

以上の測定結果から一般にガラス状珪酸塩の赤外スペクトル曲線は、結晶の場合よりも幅広い broadな吸収曲線となり、その吸収ピークの波数は modifier 陽イオンの添加により、またその添加量が増大するほど低波数側に移行し、一部の例外をのぞけば添加酸化物がある組成以上になると吸収帯が分裂する。これらの事実がいかなる原因に基づいて起こるかをきわめて定性的ではあるが推察するとつきのようなことが考えられる。

結晶状態における規則性が、融体またはガラス状態となることにより消滅し、 $\text{SiO}_4^{4-}$  四面体間の Si-O-Si の bond が切断され、結合角が不規則に、種々変化し、さらに  $\text{SiO}_4^{4-}$  四面体の対称性も悪くなるなどの原因により Si と O 原子間の結合力や力の定数が不規則性の度合に応じて変化する。それに対応して Si-O bond の振動も幅広い周波数範囲にわたって分布するようになり、赤外スペクトル曲線が broad になる。それゆえ曲線の形は不規則状態における力の定数や波数の分布状態を表わし、その曲線にピークが存在することは、不規則性の中にもある分布状態の規則性が存在することを示している。また modifier 陽イオンを添加すると Si-O-Si bond は切断され単結合酸素となり、それは modifier 陽イオンとイオン結合により結合する。その陽イオンの電場の影響を受けて、力の定数が小さくなり、さらに添加陽イオンの量が増大すれば、Si-O-Si bond の切断箇所が多くなり、珪酸陰イオンの形もより小さい形へと変化していく。すなわち  $\text{SiO}_4^{4-}$  四面体の重合の度合が減少し、振動数は低波数側へと移行する。(このことは有機重合分子についても確認されている) さらにガラス状態における吸収ピークの分裂についての理由としては、対称性が劣化するためと考えるよりも大きさの異なる 2 種以上の珪酸陰イオンが共存するために、2 個あるいは 3 個のピークが現われると推測したほうがよいと思われる。しかしスペクトルのピークが 1 個だけしか存在しない場合でも、そのガラスまたは融体中にただ 1 種類の珪酸陰イオンのみが均一に存在するとは限らない。たとえば図 17 に示した  $\text{PbO}-\text{SiO}_2$  系では、測定全組成範囲にわたって Si-O bond の  $\nu_3$  振動による赤外吸収ピークは大体 1 個しか存在しない。しかし同ガラス状珪酸塩中には 2 種以上の珪酸陰イオンが共存していると考えられる。たとえば  $\text{SiO}_2$  30~40 mol% の間では  $\text{SiO}_4^{4-}$  および  $\text{Si}_2\text{O}_7^{6-}$ ,  $\text{SiO}_2$  40~50 mol% では  $\text{Si}_2\text{O}_7^{6-}$  および  $(\text{SiO}_3)_n^{2n-}$  型の環状イオンが主体となつて共存し、 $\text{SiO}_2$  組成によりそれらの陰イオンの量的割合が変化していると考えられる。しかし吸収ピークが 1 個しか現われないのは相隣る陰イオンのもつ吸収ピークの波数が接近しそぎる上、吸収曲線が broad で相互に重なり合うため、それら吸収曲線が合成され、たまたま 1 個のピークを持つ結果になつたと推定される。以上の結果から添加する酸

化物により、珪酸の Si-O-Si bond を切断する機構がそれぞれ異なるため、同一珪酸組成でも珪酸陰イオンの形は珪酸塩の種類により異なり、また数種の形の異なる珪酸陰イオンが共存しているものと推定できる。

### 6・3 $\text{M}_x\text{O}_y-\text{SiO}_2-\text{Al}_2\text{O}_3$ 系の赤外線スペクトル

珪酸塩に対する  $\text{Al}_2\text{O}_3$  の影響の研究としては DAY and RINDON<sup>42)</sup>が  $\text{Na}_2\text{O}-\text{SiO}_2-\text{Al}_2\text{O}_3$  系で  $\text{Al}/\text{Na} \leq 1$  である組成のとき  $\text{Al}^{3+}$  が  $\text{AlO}_4$  四面体を作り  $\text{Al}/\text{Na} > 1$  では 6 配位の  $\text{Al}^{3+}$  が生じ、 $\text{Al}^{3+}$  が 4 配位をするときは Si-O bond による  $\nu_3$  吸収帶は長波長へ移行し、6 配位  $\text{Al}^{3+}$  の出現により Si-O の  $\nu_3$  振動のピークはわずかに短波長側に移行すると述べている。また KOLESOVA<sup>43)</sup>は  $\text{AlO}_4$  四面体の量は添加されたアルカリの量により決定されるとし、 $\text{R}_2\text{O}/\text{Al}_2\text{O}_3=0$  の  $\text{Al}_2\text{O}_3-\text{SiO}_2$  2 元系について観測し、 $\text{Al}_2\text{O}_3-\text{SiO}_2$  2 元系では Si-O-Al の結合ではなく、すべての Al イオンは陽イオン状態であるとしている。TARTE<sup>44)</sup>もアルカリアルミノ珪酸塩ガラスに関して、Al イオンによる吸収を調べ、 $\text{AlO}_4$  四面体による吸収は、800~700  $\text{cm}^{-1}$  にあり、6 配位の吸収を見い出すことは困難であるが、大部分の Al イオンが 4 配位をしているときは  $\text{AlO}_6$  八面体は独立して存在し、500  $\text{cm}^{-1}$  付近に吸収帶があると考えている。しかし実験結果からはその吸収は見い出されなかつた。それは  $\text{Al}^{3+}$  が O と 5, 6, 7 という数個の配位に分散するためだろうと推定している。また一般的な説明として、第 1 に  $\text{Na}^+$  や  $\text{K}^+$  のような陽イオンによって与えられる bond は固有の赤外線吸収のスペクトルを示さない。第 2 に配位数が小さいほど bond の長さが短くなり振動数は多くなる。第 3 に独立した配位群より重合状態にある配位群の方が振動数が高くなると述べている。ERMOLAEVA and SKOROBOGATOVA<sup>45)</sup>は  $\text{Al}_2\text{O}_3-\text{SiO}_2$  に  $\text{MgO}$ ,  $\text{CaO}$ ,  $\text{FeO}$ ,  $\text{Na}_2\text{O}$  各酸化物を添加したものについて研究し、珪酸塩の構造について述べている。

以上のような研究が報告されているが、いずれもある一部の組成範囲に限られている。そこで著者ら<sup>46), 47)</sup>は  $\text{PbO}$ ,  $\text{Na}_2\text{O}$  さらに  $\text{CaO}$  の珪酸塩に  $\text{Al}_2\text{O}_3$  を添加した。3 元系についてできるだけ広範囲の組成にわたって観測し、前述 2 元系珪酸塩の結果<sup>41)</sup>をもとに珪酸陰イオンの構造模型について推論した。その結果、いずれの珪酸塩の場合でも  $\text{Al}_2\text{O}_3$  添加により Si-O bond による  $\nu_3$  振動の吸収ピークは移行し、ある波数に収斂していく結果となつた。たとえば Na, Pb 硅酸塩の場合では、 $\text{SiO}_2$  が多い組成に  $\text{Al}_2\text{O}_3$  を添加すると、波数約 1020  $\text{cm}^{-1}$  に、 $\text{SiO}_2$  が少ない組成では約 970  $\text{cm}^{-1}$  に、Ca 硅酸塩の場合は大体約 970  $\text{cm}^{-1}$  にピークの波数が移行し収斂した。 $\text{CaO}-\text{SiO}_2-\text{Al}_2\text{O}_3$  系のときの結果を図 18 に示す。これは Si-O bond の  $\nu_3$  振動による吸収ピークの波数の移動と  $\text{Al}_2\text{O}_3$  組成との関係で、 $\text{Al}_2\text{O}_3$  が Ca 硅酸塩中に添加されると形の大きい珪酸陰イオンは崩壊

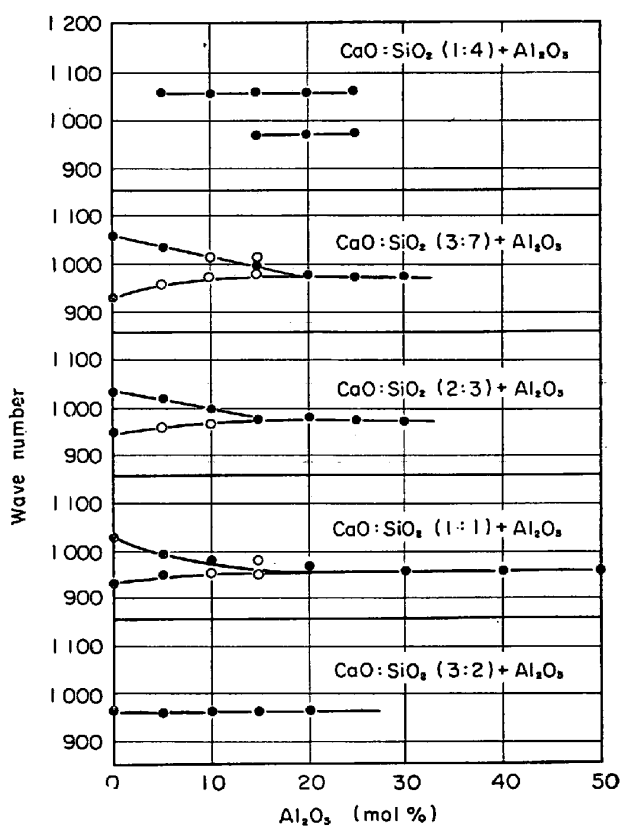
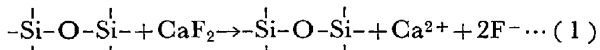


図18 ガラス状  $\text{CaO}-\text{SiO}_2-\text{Al}_2\text{O}_3$  系の赤外線吸収ピーク ( $\nu_3$ ) の波数と  $\text{Al}_2\text{O}_3$  濃度との関係<sup>47)</sup>

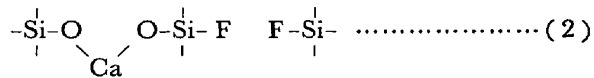
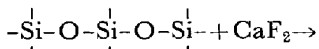
し、小さいものは重合し合つて  $\text{Al}_2\text{O}_3$  が約 20 mol % 以上では波数約  $970\text{cm}^{-1}$  にピークをもつ環状珪酸陰イオンだけがガラス中に存在し、 $\text{AlO}_4$  四面体はそれぞれ独立して環状珪酸陰イオンと他の環状珪酸陰イオンの間に位置し、それらを結合しだきい陰イオン集団を形成していると思われる。 $\text{Al}_2\text{O}_3$  が多くなり、過剰になると  $\text{AlO}_4$  四面体間の重合が起こり、その結果単位  $\text{AlO}_4$  四面体の Al-O bond の振動による吸収ピーク（波数約  $700\text{cm}^{-1}$  に存在する）は高波数側に移行し、 $\text{CaO}\cdot\text{Al}_2\text{O}_3$  組成で波数約  $800\text{cm}^{-1}$  まで移行する。

## 6.4 弗化物添加の影響

スラグの流動性を増し、融点を低下させる目的で螢石( $\text{CaF}_2$ )を添加するが、このような弗化物の溶融珪酸塩におよぼす影響については、珪酸陰イオンの構造的見地から2, 3のモデルが提案されている。前述のように弗化物がスラグの粘度低下に寄与する程度は塩基性スラグよりも酸性スラグに添加した場合のほうがより顕著に働くことが報告されている。**KOZAKEVITCH<sup>48)</sup>**, **KUMAR<sup>49)</sup>**らによると塩基性溶融珪酸塩の構造におよぼす弗化物の作用として、



酸性融体中では



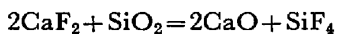
として働き、(1)で示される場合よりも(2)のほうが陰イオンの流動単位が小さくなるために流動性が増加する度合も大きくなるであろうと説明している。もし(2)の式のような反応があつたとすれば赤外線吸収スペクトルにもなんらかの影響が認められるはずである。そこで著者ら<sup>5</sup>は珪酸鉛、珪酸ソーダおよび珪酸カルシウムに対して弗化物の影響を観測した。その結果酸性側の珪酸鉛、( $\text{SiO}_2$  60 mol%)に各種弗化物(Li, Na, Mg, Ca, Be, Pb)を10 mol%添加したとき Si-O bond の  $\nu_3$  振動による吸収ピークの移行は Li, Na, Mg, Ca の弗化物ではほとんどなく、Ba, Pb の弗化物を添加したときにわずか ( $\Delta\nu = 5 \sim 10 \text{ cm}^{-1}$ ) 低波数側に移行した。しかし同一 mol% の各金属酸化物を添加したときは、 $20 \sim 30 \text{ cm}^{-1}$  程度移行するのに比較すると小さい。また塩基性側の珪酸鉛 ( $\text{SiO}_2$  40 mol%)に、上記弗化物を同一 mol% 添加したときの吸収ピークの移行は、さらに小さく弗化物の種類にもほとんど無関係である結果となつた。

このことは酸性側融体に弗化物を添加したとき(2式)のような機構で弗化物が Si-O-Si の bond を切断するとすれば同じ mol 数の酸化物を添加したときの切断個所よりも 2 倍多く bond を切断することになる。したがつて、前述のように珪酸陰イオンが小さくなると一般に低波数側に吸収帯の位置が移動するという考え方たからすれば弗化物添加の場合には酸化物添加のときより波数の移動が 2 倍程度あるはずである。ところが弗化物の添加で、ほとんど吸収帯の移動がないということから弗化物は Si-O-Si の bond を切断する作用が非常に少なく、むしろ酸化物のほうが network modifier としての作用が強いと考えられる。すなわち弗化物を珪酸塩に添加した場合には珪酸陰イオンの構造にはあまり大きな変化を与えず、単に希釈剤的に溶融珪酸塩中に存在しているものと考えられる。

珪酸塩の酸性融体中で弗化物添加の影響を(2)のように  
Si-F bond を作ることで説明を行なつてゐる。 $\text{Na}_2\text{O}\text{-SiO}_2\text{-NaF}$  系に関する KUMAR ら<sup>49)</sup>の実験では、赤外線  
吸収スペクトルの結果から Si-F bond による吸収帯が  
 $764\text{cm}^{-1}$  のところに存在するといつてゐる。しかしながら  
 $\text{NaF}$  をまったく添加しない  $\text{Na}_2\text{O}\text{-SiO}_2$  系においても  
 $\text{SiO}_2$  60 mol% のガラス状試料を結晶化すると  
KUMAR らが示した酸性の  $\text{Na}_2\text{O}\text{-SiO}_2\text{-NaF}$  系と同一の  
スペクトルが得られた。すなわち KUMAR らの述べて  
いる  $764\text{cm}^{-1}$  の Si-F bond による吸収帯は  $\text{Na}_2\text{O}\cdot 2\text{SiO}_2$   
の結晶に基づくもので  $\text{NaF}$  の添加は結晶化を促進させ  
たものにほかならない。したがつてこの吸収帯の存在に  
より Si-F bond の有無を論することは危険である。さら  
に KUMAR ら<sup>51)</sup>は  $\text{CaO-SiO}_2$  系 ( $\text{SiO}_2$  50 mol%) に

$\text{CaF}_2$  を添加すれば  $857\text{ cm}^{-1}$  に Si-F bond による吸収帯が現われたとも述べているが、著者らの実験結果では、この吸収帯も見られなかつた。 $\text{CaO-SiO}_2$  系においては  $\text{SiO}_2$  濃度が 50 mol% 以下になれば  $3\text{CaO}\cdot 2\text{SiO}_2$  の結晶により  $850\text{ cm}^{-1}$  付近に鋭い吸収ピークが現われる。

KUMAR らの実験結果は  $\text{CaO} : \text{SiO}_2 = 1 : 1$  に  $\text{CaF}_2$  を添加したものであり、 $\text{CaF}_2$  と  $\text{SiO}_2$  の反応



により  $\text{CaO}$  が増し、 $\text{SiO}_2$  が減少する結果  $\text{CaO}$  の濃度が  $\text{CaO}$  50 mol% より大となり  $3\text{CaO}\cdot 2\text{SiO}_2$  の結晶による影響が現われたものであると思われる。したがつて  $857\text{ cm}^{-1}$  の吸収帯も Si-F bond による吸収であると断定することはできない。さらに MITCHELL<sup>52)</sup> も  $\text{Ca}$  硅酸塩に  $\text{CaF}_2$  を添加したときの反応を研究し、著者らと同じような理由により Si-F の存在を赤外分光の研究で確認することは困難であろうと推察している。

## 7. そ の 他

### 7.1 結晶化温度の測定

急冷してえられたガラス状試料を粉碎、加熱して示差熱分析により結晶開始温度を調べてみると、添加酸化物の種類によつて差があり、粘度の測定値と比較検討した結果、粘度を大にするような酸化物を加えた場合には結晶化の温度が高く、反対に粘度を下げる傾向の酸化物の場合は結晶化し始める温度が低い。このように結晶化と溶融状態での粘度も密接な関係があるようと思われる。図 19 に  $\text{BaO-SiO}_2$  系に各種酸化物を 6% 添加した場合のイオン半径と結晶化開始温度との関係を示した<sup>53)</sup>。

### 7.2 水点降下の測定

溶融塩に他の化合物を微量添加し、その凝固点降下の測定により、希薄溶液で溶媒によって分解する溶質のイオンの数を調べ、解離の程度を推測することができる。 $\text{LiBO}_2$  やクライオライトを溶媒にして、各種の酸化物、弗化物を添加した場合に存在するイオン種がこのような実験結果から求められている<sup>54)</sup>。 $\text{PbO-SiO}_2$  系融体にアルカリ酸化物、アルカリ土類酸化物などを加えて水点降下を測定し、溶融珪酸塩にも利用できることがわかつ

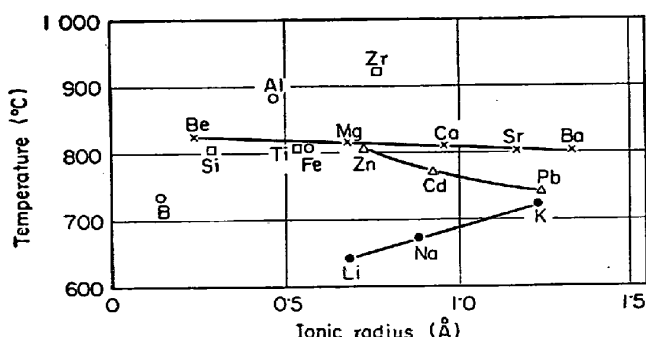


図19 結晶化開始温度とイオン半径の関係<sup>53)</sup>

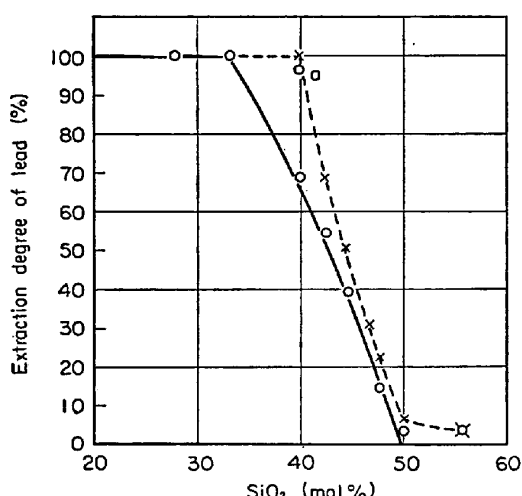


図20  $\text{PbO-SiO}_2$  系の溶媒による抽出率と組成との関係<sup>55)</sup>

た<sup>55)</sup>。

### 7.3 硅酸塩の溶媒による抽出率の測定

たとえば、 $\text{PbO-SiO}_2$  系を溶融してガラス化した試料と結晶化させたものにつき、醋酸アンモンの飽和溶液で  $\text{Pb}$  を抽出し、抽出率と組成との関係をみると図 20 のように結晶状 (○印) では  $2\text{PbO}\cdot \text{SiO}_2$  まで 100% の抽出率で、それより急激に減少し  $\text{PbO}\cdot \text{SiO}_2$  の化合物ではほとんど  $\text{Pb}$  は溶解しない。これに対しガラス (×印) の場合は 40% まで完全に  $\text{Pb}$  は抽出されている。 $\text{SiO}_2$  40 mol% は  $3\text{PbO}\cdot 2\text{SiO}_2$  に相当するところで、この化合物は低温では安定であるが高温では  $2\text{PbO}\cdot \text{SiO}_2$  と  $\text{PbO}\cdot \text{SiO}_2$  に分解する。図上の  $a$  点はこの  $3\text{PbO}\cdot 2\text{SiO}_2$  結晶の抽出率で、ガラス状試料の抽出率に近い値を示し、このことからガラス状の  $\text{SiO}_2$  40% では  $\text{Si}_2\text{O}_7^{4-}$  が存在し、これに結合している  $\text{Pb}$  はほとんど溶解するものと思われる<sup>56)</sup>。 $\text{PbO-SiO}_2$  系に他の酸化物を添加した場合の抽出率の変化も、添加酸化物の陽イオン半径とかなり密接な関係がある<sup>57)</sup>。

### 7.4 水溶液中に存在する各種のシリケート陰イオンとシリコモリブデン酸の生成速度の測定<sup>58)</sup>

もし珪酸塩が 0.1N の酸に可溶で、しかも固体状態のシリケートイオンの構造がそのまま溶液中にひきつがれる場合には、モリブデン酸アンモン溶液との間にできるシリコモリブデン酸の生成速度を分光光度計により測定し、珪酸イオンの構造を推定することができる。一般に重合度の少ないほど反応が速く、たとえば  $\text{Li}_4\text{SiO}_4$  では 2.5 min,  $\text{Na}_6\text{Si}_2\text{O}_7$  では 5 min,  $\text{Na}_2\text{SiO}_3$  になるとさらに反応時間は長くなる。また 3 次元 network 構造になると 0.1N の酸には不溶となる。

### 7.5 ホットフィラメントセルによる直接観察<sup>59)</sup>

Rh 30% Pt フィラメント (約 0.25 mm φ) 上に微量 (数ミリグラム) のスラグをつけ、電流を通じてフィラメントの抵抗熱によりスラグを溶融し、これを顕微鏡 (20

~50倍)を通して直接観察することにより、スラグ中でおこる反応を種々の物性値との関連において検討することができる。たとえばスラグとカーボンが反応して生成されるCOガスの発生状況や、CaO-SiO<sub>2</sub>系融体にCaOが溶解するさい、CaOの表面にみられる高融点の2CaO·SiO<sub>2</sub>の生成速度や、CaOの溶解速度あるいはその機構の解明などにも、この直接観察の方法が非常に有効である。ただしCaO、SiO<sub>2</sub>、Al<sub>2</sub>O<sub>3</sub>、MgO系では融体が透明なので観察できるが、FeO、MnOなどの重金属の酸化物が数パーセント以上存在する場合には不透明になるのであまり有効ではない。

#### 7.6 その他

メスバウア効果の測定により珪酸塩中に存在するFeの原子価や配位数を求めた報告もあり<sup>60)</sup>、この方面的研究も今後構造解明の有力な手段となりうるものと思われ

る。またスラグ中のH<sub>2</sub>O、COその他のガスの存在、溶解度、あるいは融体中の酸素の拡散なども重要な知見である。溶融金属と、スラグ中にこの金属の化合物とが共存する場合には、低級酸化物の存在あるいはその揮発も忘れてはならない。また実用面では溶融スラグに対する金属の溶解度、あるいは、PbOやV<sub>2</sub>O<sub>5</sub>などを含んだスラグの酸化腐食性の問題も重要である。さらに構造と直接関連のあるX線分析、あるいはガラス状試料の電子顕微鏡による直接観察も有力な構造解明の手段であろう。

### 8. 構造

スラグあるいは珪酸塩構造の基本をなすものは酸素イオンであり、イオン半径が酸素に比して小さい元素(Si、Alなど)の周囲にできる酸素四面体(SiO<sub>4</sub>、AlO<sub>4</sub>など)

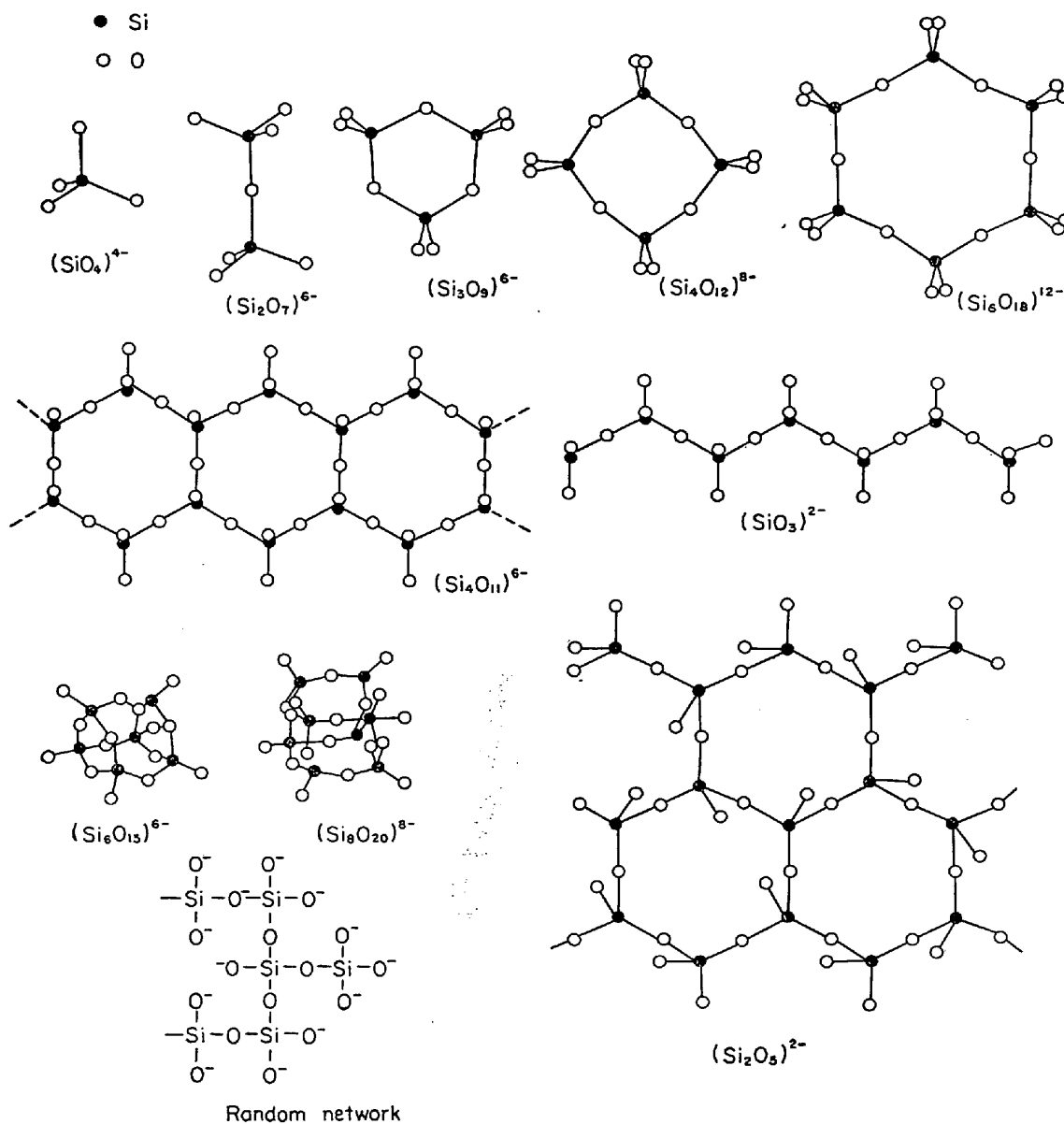


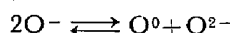
図21 各種珪酸陰イオン模型

や酸素八面体 ( $\text{AlO}_6$ ,  $\text{MgO}_6$ など) が互いにその頂点にある酸素原子を共有することにより構成されている。たとえば  $\text{SiO}_2$  単体のときは各  $\text{SiO}_4$  四面体は、その頂点において4方向に他の4個の  $\text{SiO}_4$  四面体と連結されて全体では三次元的な酸素四面体の網目ができる。このように全頂点を共有する場合は  $\text{Si}/\text{O}=0.50$  であり、 $\text{SiO}_2$  に塩基性酸化物が添加されると  $\text{Si}/\text{O}$  の値は減少し、酸素原子の数が多すぎるために四面体はすべての頂点において連結することができなくなる。 $\text{Si}/\text{O}=0.25$  以下の組成になると四面体は全部独立してほかと遊離してしまう。それで  $\text{Si}/\text{O}$  が  $0.50 \sim 0.25$  の間の組成において四面体の結合方式が異なるために種々の珪酸塩の構造模型を考えられる。図21にその一部を示した。すなわち  $\text{Si}/\text{O}=0.33$  (メタ珪酸塩組成) では  $(\text{SiO}_3)_{n^{2n-}}$  の形である一次元鎖状、環状、あるいは random network 構造が考えられ  $\text{Si}/\text{O}=0.40$  では  $(\text{Si}_2\text{O}_5)_{n^{2n-}}$  で表わされる。二次元の層状構造あるいは、図中にある  $(\text{Si}_6\text{O}_{15})^{6-}$ ,  $(\text{Si}_8\text{O}_{20})^{8-}$  のような discrete anion などの模型が考えられる。

しかしこのような構造模型が溶融スラグ、珪酸塩あるいはガラス中に  $\text{SiO}_2$  組成によって、はたしてどのような型で存在し、またどのように分布しているかは現在までのところ全く推論の域を脱していない。ZACHARIASEN<sup>61)</sup>, WARREN<sup>62)</sup>らの不規則網目構造説によるとガラス状態とは結晶が持つような対称性や周期性を持たない  $\text{SiO}_4$  四面体による3次元網目構造であつて、これに  $\text{CaO}$ ,  $\text{Na}_2\text{O}$  のような酸化物が添加されると、その量にしたがつて  $\text{Si}-\text{O}-\text{Si}$  の bond が随所で不規則に切断され、図21中の random network 構造になる。しかしこの説も添加酸化物の量が多くなり  $\text{Si}/\text{O}$  が  $0.33$  以下になると、適用できない。BOCKRIS や MACKENZIE<sup>63)</sup>らは溶融珪酸塩の物理的諸性質がアルカリ酸化物濃度  $10 \sim 20$  mol%付近で急激に変化することや、粘性の活性化エネルギーが金属酸化物を約 10 mol% 添加することにより急激に低下し、それ以上の添加ではその変化する割合が

小さくなることから、約 10 mol% 以上の珪酸塩融体中では珪酸陰イオンの大きさが変化する割合も小さいと推論し、∞鎖状や層状構造は存在しないとして、その代わりに金属酸化物、約 40 mol% までは  $(\text{Si}_6\text{O}_{15})^{6-}$ ,  $(\text{Si}_8\text{O}_{20})^{8-}$  のような discrete anion, 50 mol% 組成では ∞鎖状の代わりに  $(\text{Si}_3\text{O}_6)^{6-}$ ,  $(\text{Si}_4\text{O}_{12})^{8-}$  型の環状イオンが存在すると考えた。このように組成に対する珪酸陰イオンの構造模型を表2に総括した。

また一方、融体中に種々の陰イオンを考え、その平衡関係から、各  $\text{SiO}_2$  組成における陰イオンの分布状態を計算し推測した研究報告も多くあり、そのおもなものとして TOOP ら<sup>64)</sup>は、特定の陰イオンを考えないで、珪酸塩融体中に3種類の酸素イオンすなわち単結合酸素イオン (singly bonded  $\text{O}^-$ ), 複結合酸素イオン (doubly bonded  $\text{O}^{\circ}$ ) および自由酸素イオン (free oxygen ion  $\text{O}^{2-}$ ) が存在し、その間に次式のように平衡が保たれると考え、



例として、 $\text{ZnO}-\text{SiO}_2$  系について計算した結果、 $\text{SiO}_2$  のモル分率 ( $N_{\text{SiO}_2}$ ) に対する各酸素イオン濃度との分布状態を図22のように示した。FLOOD ら<sup>65)</sup>は  $\text{PbO}-\text{SiO}_2$  系について  $\text{PbO}$  の活量を用い、陰イオンの型として  $\text{O}^{2-}$ ,  $\text{SiO}_4^{4-}$ ,  $(\text{SiO}_3)_{\frac{5}{2}}^-$  それに  $(\text{SiO}_{2.5})_{\frac{6}{5}}^-$ などを考えそれらの平衡関係として次式

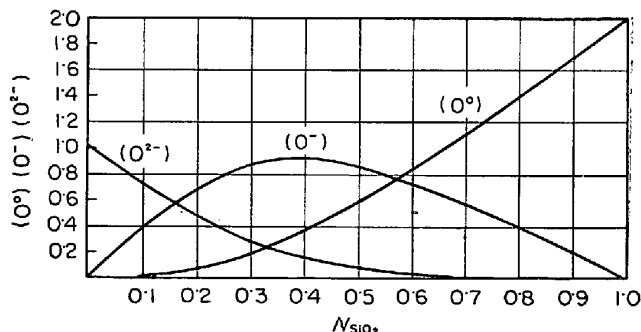


図22  $\text{ZnO}-\text{SiO}_2$  系融体中の各種酸素イオン濃度<sup>64)</sup>

表2 溶融珪酸塩の構造モデル

Model	Mole per cent metal oxide								
	0	10	20	30	40	50	60	70	
A	random network								unspecified
B	rnw	rnw + S	S	S	S  - C + S + r	∞C + r	C + r	C + SiO <sub>4</sub>	
C	Vitreous silica + M <sub>2</sub> SiO <sub>3</sub>								
D	rnw	rnw	Discrete ions + r	r	r	C + r	C + r	C + SiO <sub>4</sub>	
E	rnw	Vit. SiO <sub>2</sub> + M <sub>2</sub> Si <sub>2</sub> O <sub>5</sub>	d + r	d + r	d + r	C + r	C + r	C + SiO <sub>4</sub>	
F	rnw	rnw	Vit. SiO <sub>2</sub> + d + r	d + r	d + r	d + r	d + r	C + SiO <sub>4</sub>	

rnw : random network, S : Sheets, C : Chains, r : rings, d : discrete ions

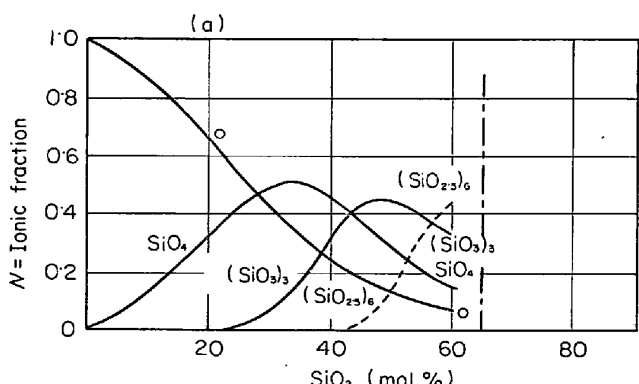


図23 PbO-SiO<sub>2</sub> 系融体中の構成イオンと SiO<sub>2</sub> 組成との関係<sup>65)</sup>

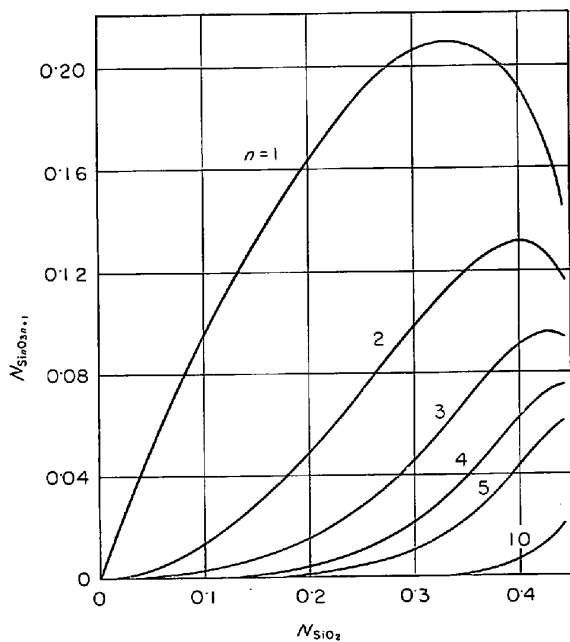
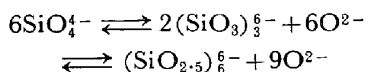
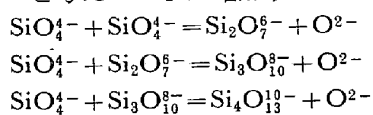


図24 FeO-SiO<sub>2</sub> 系の SiO<sub>2</sub> 組成に対する珪酸イオノンの分布<sup>66)</sup>



を考え、この平衡関係より、各イオンの分布状態を図23のように推定した。さらに MASSON<sup>66)</sup>はこれらの考えをさらに拡張し、高分子重合溶液理論に結びつけ、珪酸塩融体中には各種長さの珪酸陰イオンが連続的に分布し、それらの間には、それぞれ平衡関係が成立すると推察した。すなわち珪酸塩を構成する一番簡単な陰イオンとして  $\text{SiO}_4^{4-}$  を考え  $\text{SiO}_2$  が増加するにしたがい、次式



のように酸素イオンを排出しながら  $\text{SiO}_4^{4-}$  イオンの重合が行なわれ、また各式の平衡定数はみな等しいと仮定して珪酸塩融体中の珪酸陰イオンの分布状態を推定し

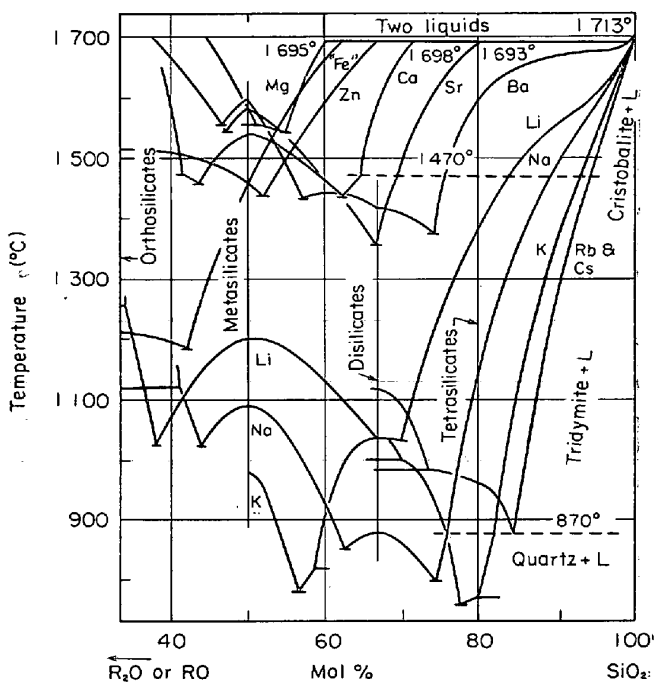


図25 SiO<sub>2</sub>-R<sub>2</sub>O, RO 系の液相線の関係<sup>67)</sup>

FeO-SiO<sub>2</sub> 系におけるイオンの分布状態として図24のような結果を得ている。さらに彼はこれらの関係より融体中の塩基性酸化物の活量を説明している。

その他、珪酸塩融体またはガラスの構造に関係あるものとして図25<sup>67)</sup>に示す2元系珪酸塩の液相線より判るように、2液相分離すなわちイオンの不混和性(immiscibility)の問題、化合物生成の問題などがある。不混和性については WARREN ら<sup>68)</sup>は Na<sub>2</sub>O-SiO<sub>2</sub>, CaO-SiO<sub>2</sub> ガラスに対して見解を発表し、珪酸塩中での陽イオンはすべて適當数の酸素イオンを配位しようとする傾向があり、そのうち network former である Si イオンは、4個の酸素イオンに結合して酸素四面体を作るが、必ずしも、すべての酸素が2個の Si と結合する必要はないから、2相に分離するよりも均一相であるほうがすべての Si は容易に4個の酸素を配位できる。しかし modifier である陽イオンが結合できる酸素イオンは未飽和の酸素イオンのみであるから、塩基性酸化物の含量が少ないとときは、未飽和酸素の数が少ないため、それらが均一に融体またはガラス中に分布すればその陽イオンが適當数の酸素イオンと結合することは非常に困難になる。

このように Si 原子の結合力により均一相に保とうとする傾向と modifier 陽イオンが、未飽和酸素と結合してその陽イオンに富んだ相を析出しようとする傾向とが互いに相反して存在し Na<sub>2</sub>O のときは Na の結合力が非常に小さいために均一相となり、CaO 添加の場合は結合力が強いために、2相に分離すると考え、さらに immiscibility の極限における modifier 酸化物の重量% (limiting composition) を X とし次式

$$X = \frac{100M}{0.602\rho S^3}$$

*M* : modifier 酸化物の分子量,  $\rho$  : *X*組成における密度, *S* : modifier 陽イオン間の距離

を用いて計算し, CaO のときは 33%, MgO のときは 39% という値を得ている。また LEVIN ら<sup>69)</sup>は WARREN らの理論を発展させ SiO<sub>2</sub> 四面体に配位する modifier 陽イオンについて、2つの配位形式を考え、幾何学的な計算を用いて陽イオン間の距離を算出し、その値と物理的に算出したその距離とを比較して、アルカリ、アルカリ土類金属酸化物を添加したときにそれらイオンがどちらの配位形式に属するかを見い出し、さらに構成酸化物の密度をも考慮して各珪酸塩の limiting composition を計算し実測値に近い値を求めている。さらに Oxygen-volume method すなわち modifier 陽イオンの半径を *r* とすると、

$$\text{modifier 陽イオンの体積} = r^3 \times 17 / (1 \cdot 40)^3 = 6 \cdot 195 r^3$$

ここで 1·40 : 酸素イオンの半径, 17 : 最密充填における酸素原子 1 個によつて占められる体積、

したがつて陽イオン 1 個に対応する酸素原子の数 (No O) は次式のようになる。

$$NoO = (S_g^3 - 6 \cdot 195 r^3) / 17$$

*S<sub>g</sub>* は陽イオン間の距離、そこで 2 倍の金属酸化物 (R O) に対して limiting composition における酸化物式 (oxide formula) として RO · (NoO-1)/2 SiO<sub>2</sub> が与えられ、その計算結果は、前記と同様、測定値とかなりよく一致した値を得ている。

以上のように珪酸塩の融体やガラス状態の構造についてはいろいろの方面から研究され、その構造モデルが推測され、珪酸組成に対する珪酸陰イオンの構造モデルやそれらイオンの分布状態などを普遍的に導き出せる現論を確立するための努力がなされてはいるが、現段階では、2 元系の 1 硅酸塩についてさえ、その融体構造を明解に説明できる理論は 1 つもない状態であり、その上種々の物理的性質におよぼす影響も添加される modifier イオンの種類により、それぞれ異なる結果を示すことからも、当然 modifier イオンが異なる融体の構造にも差があるものと考えられる。しかし少なくとも同族元素を含む各珪酸塩融体の物性値の間には、ある一定の関係が存在していることは明白であり、近い将来必ず種々の珪酸塩の任意の組成におけるあらゆる物性値が算出できる理論が確立され、さらに構造面でも、同様な普遍的理論が完成されるであろう。

## 文 献

- 1) 伊藤、柳ヶ瀬: 電気化学, 26 (1958), p. 363
- 2) M. T. SIMNAD, G. DERGE, and I. GEORGE : Trans. Met. Soc. AIME, 200 (1954), p. 1389
- 3) W. R. DICKSON and E. B. DISMUKES : Trans. Met. Soc. AIME, 224 (1962), p. 505
- 4) E. A. DANCY and G. DERGE : Trans. Met. Soc., AIME, 236 (1966), p. 1642
- 5) R. E. TICKLE : Physics and Chemistry Glasses, 8 (1967) 3, p. 101
- 6) Y. SUGINOHARA, T. YANAGASE, and H. ITO : Trans. Japan Inst. Metals, 3 (1962) 4, p. 227
- 7) 伊藤、柳ヶ瀬、杉之原、宮崎: 日本金属学会誌, 31 (1967) 3, p. 284
- 8) R. KAMMEL, H. WINTERHAGER : Z. Eng. Met., 18 (1965) 1, p. 9
- 9) 柳ヶ瀬、杉之原、池田: 第 2 回溶融塩化学討論会にて発表、昭和 43 年 11 月
- 10) H. ITO and T. YANAGASE : Trans. Japan Inst. Metals, 1 (1960) 2, p. 116
- 11) H. HOFMANN and B. MARINEEK : Arch. Eisenhüttenw., 25 (1954), p. 523
- 12) 森、松下: 鉄と鋼, 38 (1952), p. 534
- 13) P. RÖNTGEN, H. WINTERHAGER, and R. KAMMEL : Z. Eng. Met., 9 (1956) 5, p. 207
- 14) 日野、江島、龜田: 日本金属学会誌, 31 (1967) 2, p. 117
- 15) C. L. BABCOCK : J. Amer. Ceram. Soc., 51 (1968) 3, p. 163
- 16) B. G. BALDWIN : JISI, 186 (1957), p. 394
- 17) E. F. RIEBLING : J. Amer. Ceram. Soc., 51 (1968) 3, p. 143
- 18) H. SCHENCK : M. G. Frohberg, Arch. Eisenhüttenw., 33 (1962) 7, p. 421
- 19) 白石、斎藤: 日本金属学会誌, 29 (1965), p. 614
- 20) 田村、斎藤: 選鉱製錬研究所報告, 22 (1966) 1, p. 7
- 21) P. B. MACEDO, T. A. LITOVITZ : J. Chem. Physics, 42 (1965) 1, p. 245
- 22) 功刀、大田、近藤: 溶融塩, 13 (1970) 2, p. 237
- 23) R. G. WARD, P. L. SACHDEV : Trans. Met. Soc. AIME, 233 (1965), p. 1496
- 24) J. HENDERSON, R. G. HUDSON, R. G. WARD, and G. DERGE : Trans. Met. Soc. AIME, 221 (1961), p. 807
- 25) —D. R. GASKEL and R. G. WARD : Trans. Met. Soc. AIME, 239 (1967) p. 249
- 26) J. W. TOMLINSON, M. S. R. HEYNES, and J. OM. BOCKRIS : Trans. Farad. Soc., 54 (1958), p. 1822
- 27) R. E. BONI and G. DERGE : Trans. Met. Soc. AIME, 206 (1956) 1, p. 53
- 28) W. D. KINGERY : J. Amer. Ceram. Soc., 42 (1959) 1, p. 6
- 29) T. B. KING : J. Soc. Glass Tech., 35 (1951), p. 241
- 30) R. E. BONI and G. DERGE : Trans. Met. Soc. AIME, 206 (1956) 1, p. 59
- 31) J. H. SWISHER and C. L. McCABE : Trans. Met. Soc. AIME, 230 (1964), p. 1669
- 32) 井上、長: 鉄と鋼, 53 (1967) 3, p. 286

- 33) P. TARTE : Bulletin de la Société Française de Céramique, p. 13
- 34) I. ŠIMON, and H. O. McMAHON : J. Chem. Phys., 21 (1953) 1, p. 23
- 35) B. D. SAKSENA : Trans. Farad. Soc., 57 (1961), p. 242
- 36) P. TARTE : Spectrochimica Acta, 18 (1962), p. 467
- 37) I. ŠIMON and H. O. McMAHON : J. Amer. Ceram. Soc., 36 (1953) 5, p. 160
- 38) V. A. FLORINSKAYA and R. S. PECHENKINA : J. Structural Chemistry (in English), 4 (1963) 6, p. 783
- 39) E. F. CHERNEVA and V. A. FLORINSKAYA : J. Structural Chemistry (in English), 5 (1964) 5, p. 655
- 40) R. HANNA and G-J. SU : J. Amer. Ceram. Soc., 47 (1964) 12, p. 597
- 41) 杉之原, 柳ヶ瀬, 伊藤: 溶融塩, 12 (1969) 1, p. 151
- 42) D. E. DAY and G. E. RINDONE : J. Amer. Ceram. Soc., 45 (1962) 10, p. 489
- 43) V. A. KOLESOVA : The Structure of Glass, 7 (1966), p. 34
- 44) P. TARTE : Physics of non Crystalline Solids, p. 549
- 45) E. V. ERMOLAEVA and I. V. SKOROBOGATOVA : The Structure of Glass, 7 (1966), p. 30
- 46) 杉之原, 柳ヶ瀬: 日本金属学会誌, 31(1967), p. 1229
- 47) 杉之原, 柳ヶ瀬: 日本金属学会誌, 33 (1969) 4, p. 443
- 48) P. KOZAKENITCH : Rev. Met., 51 (1954), p. 569
- 49) D. KUMAR, R. G. WARD, and D. J. WILLIAMS : Disc. Farad. Soc., 32 (1961) p. 147
- 50) 伊藤, 柳ヶ瀬, 杉之原, 宮崎: 日本金属学会誌, 33 (1967) 3, p. 290
- 51) D. KUMAR, R. G. WARD, and D. J. WILLIAMS : Trans. Farad. Soc., 61 (1965), p. 1850
- 52) A. MITCHELL : Trans. Farad. Soc., 63 (1967), p. 1408
- 53) 柳ヶ瀬, 杉之原, 川鍋: 日本金属学会講演会にて発表, 昭45年4月
- 54) F. D. RICHARDSON: 溶体の物理化学(日本語訳) p. 112, 114
- 55) 杉之原: 九州大学工学集報, 34 (1962) 4, p. 318
- 56) 柳ヶ瀬, 杉之原, 松永, 坂田: 九州鉱山学会誌, 31 (1963) 11, p. 459
- 57) 伊藤, 柳ヶ瀬, 杉之原: 日本鉱業会誌, 82 (1966) 933, p. 31
- 58) W. WIEKER and H. SLADE: セラミックス, 1 (1966) 3, p. 177 (国際シンポジウムのアブストラクトより)
- 59) G. DERGE : Trans. Met. Soc. AIME, 239 (1967), p. 1480
- 60) G. H. FRISCHAT and G. TOMANDL : Glass-tech. Ber., 42 (1969) 5, p. 182~185 (窯業協会誌 78 (1970) No 895 の抄録より)
- 61) W. H. ZACHARIASEN : J. Amer. Chem. Soc., 54 (1932), p. 3841
- 62) B. E. WARREN, H. KBUTTER and O. MORNINGSTER : J. Amer. Ceram. Soc., 19 (1936), p. 202
- 63) J. D. MACKENZIE : Modern Aspects of the Vitreous State (1960) p. 3~6, p. 204
- 64) G. W. TOOP and C. S. SAMIS : Trans. Met. Soc. AIME, 224 (1962) 10, p. 878
- 65) H. FLOOD and W. J. KNAPP : J. Amer. Ceram. Soc., 46 (1963) 2, p. 61
- 66) C. R. MASSON : Proc. Roy. Soc., A 287 (1965) 1409, p. 201  
J. Amer. Ceram. Soc., 51 (1968) 3, p. 134
- 67) M. K. RESER : Phase Diagrams for Ceramists, (1964) p. 142
- 68) B. E. WARREN and A. G. PINCUS : J. Amer. Ceram. Soc., 23 (1940) 10, p. 301
- 69) E. M. LEVIN and S. BLOCK : J. Amer. Ceram. Soc., 40 (1957) 3, p. 95